



مقاله پژوهشی

ژئوشیمی، خاستگاه و دمای آفاتکسی تشکیل مونزو-گرانیت خلچ (مشهد، ایران)

رامین صمدی^۱، قدرت ترابی^{۱*} و حسن میرنژاد^۲¹ گروه زمین‌شناسی، دانشکده علوم، دانشگاه اصفهان، اصفهان، ایران² گروه زمین‌شناسی، دانشکده علوم، دانشگاه تهران، تهران، ایران

دریافت مقاله: 1398/10/14، پذیرش: 1399/02/07

چکیده

سنگ‌های مونزو-گرانیتی گروهی از گرانیتوئیدهای مشهد با سن مژوزوئیک هستند که در منطقه خلچ (واقع در جنوب شهر مشهد) رخمنون دارند. این سنگ‌ها دارای کانی‌های کوارتز، پاتاسیم فلدسپار، پلازیو-کلاز، میکا و کانی‌های فرعی زیرکن و آپاتیت هستند. از دیدگاه ژئوشیمیایی، در مونزو-گرانیت خلچ از گروه گرانیتوئیدهای فروئن، آلکالی کلسیک، پرآلومین، فلسیک نوع S و محصول ذوب‌بخشی است. بنابراین، مونزو-گرانیت خلچ از گروه گرانیتوئیدهای فروئن، آلکالی کلسیک، پرآلومین، فلسیک نوع S و محصول ذوب‌بخشی رسوبات پوسته بالایی در دمای نزدیک به 730 تا 800 درجه سانتی‌گراد است. دماهای اشباع‌شدگی ماگما از زیرکنیم هنگام تشکیل زیرکن کمتر از 800 (تقريباً 732 تا 745) درجه سانتی‌گراد محاسبه شد. با فروزانش پالوثیس زیر ورقه توران و برخورد قاره‌ای، پوسته بالایی در اثر فرایندهای زمین‌ساختی فشاری دچار ذوب‌بخشی شده و تودهای نفوذی مونزو-گرانیتی همزمان با برخورد تا پسابرخوردی نوع S خلچ تشکیل شده‌اند.

واژه‌های کلیدی: سنگ‌نگاری، ژئوشیمی، مونزو-گرانیت، مژوزوئیک، خلچ، مشهد

مقدمه
همکاران (Barbarin, 1999) و White, 2001 (and White, 2001)، باربارین (Frost et al., 2001). چاپل و وايت (Chappell, 2001) همکاران (White, 2001) (and White, 2001) بر پایه پژوهش‌های ژئوشیمیایی و سنگ‌نگاری روی گرانیتوئیدهای کمرندهای چین خورده لاچلان¹ در جنوب خاوری استرالیا، گرانیتوئیدهای رابه دو گروه نوع I (محصول تفریق بلورین مذاب‌های گوشتی‌ای، ذوب‌بخشی

گرانیتوئیدها یکی از گروه‌های سنگی عمدۀ تشکیل دهنده پوسته قاره‌ای هستند که بررسی آنها می‌تواند دانستنی‌های بسیار سودمندی درباره زمین‌ساخت و تحولات گوشه‌ته تا پوسته بالایی ارائه کند. بررسی پتروژنز و محیط تشکیل گرانیت‌ها همواره مورد توجه پژوهشگران بوده است؛ مانند چاپل و وايت (Chappell

دیوریتی و دایک‌های آپلیتی - پگماتیتی نیز به طور پراکنده در این گستره دیده می‌شوند (Samadi et al., 2015) (شکل ۱). در این پژوهش، به منظور بررسی رویدادهای پلوتونیک ناشی از برخورد ورقه توران و ایران مرکزی در اثر بسته شدن اقیانوس پالتوتیس، ترکیب ژئوشیمیایی سنگ کل واحد مونزو-گرانیتی خلچ واقع در جنوب شهر مشهد از دیدگاه‌های گوناگونی رده‌بندی می‌شود و خاستگاه و محیط تشکیل آن بررسی می‌شود.

زمین‌شناسی منطقه خلچ

منطقه خلچ در حدود ۵ کیلومتری جنوب مشهد و جنوب کوه معجونی در خراسان رضوی واقع شده است (شکل ۱). واحدهای آذربایجانی بین‌الادین در این منطقه شامل مونزو-گرانیت - گرانودیوریت‌هاست که به وسیله شبکه‌ای از رگه‌های آپلیت - پگماتیت قطع شده‌اند. در برخی پژوهش‌های پیش‌ین، گرانیت‌وئیدهای پیرامون مشهد را بخشی از ورقه ایران مرکزی معرفی کرده‌اند، مانند سلطانی (Soltani, 2000); اما در پژوهش‌های نوین تر مانند زانچی (Zanchi et al., 2011)، این سنگ‌ها بخشی از ورقه توران در نظر گرفته شده‌اند. گرانیت‌وئیدهای مشهد بخشی از کمان مشهد - پامیر هستند. ناتالین و سنگور (Natalin and Sengor, 2005) و میرنژاد و همکاران (Mirnejad et al., 2013) آنها را بخشی از کمان جاده ابریشم دانسته‌اند که از مرز جنوبی اوراسیا در شمال چین تا اروپا امتداد داشته و محصول فروراش را به شمال پالتوتیس به زیر اوراسیا است. در بخش‌های خاوری و جنوب‌خاوری منطقه خلچ، مونزو-گرانیت‌ها بخش عمده توده گرانیت‌وئیدی در منطقه خلچ واقع مونزو-گرانیت‌ها بخش عمده توده گرانیت‌وئیدی در منطقه خلچ را تشکیل داده‌اند. بر اساس داده‌های سن‌سنگی اولنیم - سرب، برون‌زدهای مونزو-گرانیت‌های¹ جنوب خلچ تا خواجه‌مراد دارای سن 199 تا 205 میلیون سال پیش (Mirnejad et al., 2013) بوده و جوان‌تر از گرانودیوریت² خواجه‌مراد با سن 212 تا 217

سنگ‌های با خاستگاه گوشه‌ای و یا ذوب گوشه‌ته در اثر مذاب‌های اسیدی) و S (محصول آناتکسی و ذوب‌بخشی سنگ‌های رسوبی دگرگون‌شده) طبقه‌بندی کردند. گرانیت‌وئیدهای نوع S پرآلومین بوده و آلومینیم اضافه آنها در ساختار کانی‌های مانند بیوتیت غنی از آلومینیم، کردیریت و یا مسکوکیت شرکت می‌کند؛ اما گرانیت‌های نوع I متألمین (و به ندرت برخی کمی پرآلومین) هستند و فزونی آلومینیم آنها تابعی از فرایند ذوب و نه میزان بالای این عنصر در ترکیب منشأ آنهاست (Chappell et al., 2012). بر پایه پژوهش‌های چاپل و وایت (Chappell and White, 1984, 1992) و چاپل و همکاران (Pitcher, 1993) (Chappell et al., 1993) گرانیت‌وئیدهای نوع I شامل گرانیت‌وئیدهای گروه دما بالا یا کردیلان (بیشتر شامل گرانودیوریت کم پتانسیم تا تونالیت کلسیم بالا و بدون زیرکن به ارث رسیده بوده و محصول ذوب‌بخشی سنگ‌های مافیک در دماهای بالاتر از 1000 درجه سانتی گراد در ژرفاهای گوشه‌یا محیط‌های فروراش در مرزهای قاره‌ای هستند) و گرانیت‌وئیدهای گروه دما پایین یا کالدونین (دارای زیرکن به ارث رسیده بوده و محصول ذوب‌بخشی پوسته فلزیک در دماهای ذوب حدود 700 تا 800 درجه سانتی گراد هستند و اغلب به همراه گرانیت‌وئیدهای نوع S یافت می‌شوند).

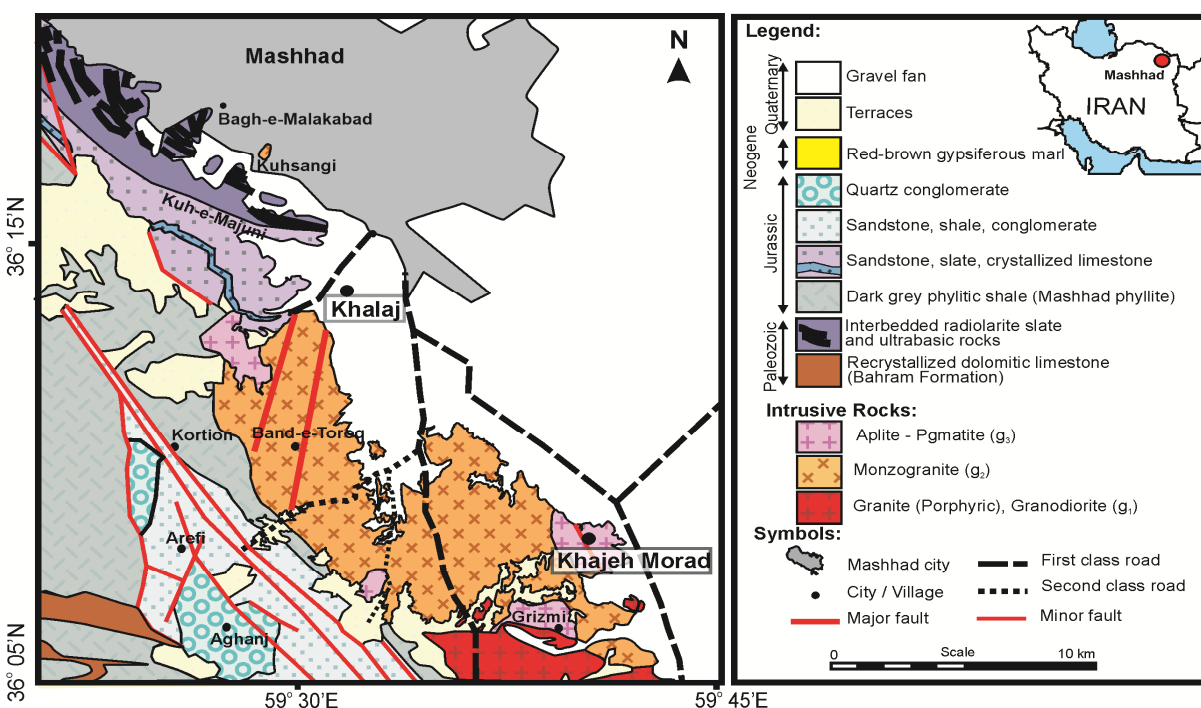
در اوخر تریاس، فرایند کوه‌زایی سیمیرین موجب تداوم روند بسته شدن اقیانوس پالتوتیس، فروراش اقیانوس پالتوتیس به زیر ورقه توران و در نتیجه برخورد قاره‌ای میان بخش شمال خاوری ورقه ایران مرکزی و ورقه اوراسیا و تشکیل کمربند ولکانیکی - پلوتونیکی در منطقه توران با ظهور واحدهای آذربایجان درونی در راستای این پهنه بخیه‌ای شده است (Jazi et al., 2012; Samadi et al., 2014). بخش فراوانی از این سنگ‌های آذربایجانی در شمال خاوری ایران و از شمال باختری تا جنوب خاوری شهر مشهد رخمنون یافته‌اند، شامل مونزو-گرانیت و گرانودیوریت هستند؛ اما توده‌هایی از سنگ‌های تونالیتی،

1. MG = monzogranite

2. GD = granodiorite

منشأ کوارتزهای موجود در کنگلومراهای کوارتزدار عارفی (با سن ژوارسیک میانی) دانسته شده‌اند (Karimpour et al., 2014).

میلیون سال پیش (Karimpour et al., 2010) هستند. این توده‌های آذرین درون سنگ‌های رسوبی ماسه‌سنگی به سن پیش از تربیس بالای نفوذ کرده‌اند (شکل 1). این توده‌ها مهم‌ترین



شکل 1. نقشه زمین‌شناسی جنوب مشهد و جایگاه مونزو-گرانیت خلچ (خراسان رضوی). برگرفته از نقشه زمین‌شناسی ورقه 1:100000 مشهد با تغییرات پس از طاهری و قائمی (Taheri and Ghaemi, 1994)

Fig. 1. Geological map of south of Mashhad and location of Khalaj monzogranite (modified after geological map (scale: 1:100000) of Mashhad after Taheri and Ghaemi (1994))

در آزمایشگاه سازمان زمین‌شناسی کشور، با به کار گیری دستگاه طیف‌سنج مدل Philips PW 1480 و یک لوله تولید کننده پرتو ایکس و آند از جنس Rh، با استفاده از قرص پودر سنگ آنالیز شدند. در این روش آنالیزی مقدار درصد وزنی اکسیدهای SiO₂ و P₂O₅ و Na₂O و K₂O و CaO و MgO و Al₂O₃ و TiO₂ و Fe₂O₃ عناصر کمیاب به دست آمد. مقدار آهن کل به صورت یافته LOI² به صورت افت وزن تا گرمای 1000 درجه سانتی گراد به دست آمده است. مقادیر حد آشکارسازی عناصر اصلی (بر پایه درصد وزنی) در این روش برای همه عناصر

روش مطالعه در این پژوهش، پس از بررسی نقشه‌ها، گزارش‌ها و بررسی‌های پیشین، از سنگ‌های مورد بررسی، بازدید صحرایی و نمونه‌برداری شد. برای انجام بررسی‌های پتروگرافی از نمونه‌های مناسب، مقاطع میکروسکوپی تهیه شد و سپس از میان آنها، نمونه‌های کم‌وپیش سالم که نشانه‌های دگرسانی نداشتند برای تعزیز انتخاب شدند. برای بررسی ترکیب سنگ کل نمونه‌های برگزیده، از روش‌های XRF و ICP-MS استفاده شد که نتایج آن در جدول 1 آمده است. در روش فلورسنس اسپکترومتری پرتو ایکس¹، نمونه‌ها

1. XRF

2. Loss on Ignition

مرکز دگرسان شده و به مسکویت تبدیل شده‌اند؛ به طوری که تیغه‌های مسکویت در آنها به خوبی رشد کرده‌اند. بیوتیت در مونزو-گرانیت خلنج نسبت به رخمنون این واحد سنگی در خواجه‌مراد اندکی فراوان‌تر است. بیوتیت‌ها به طور پراکنده و بدون جهت‌یافته‌گی بوده و دارای ادخال‌های فراوان زیرکن هستند (شکل 2-E). برخی بیوتیت‌ها به‌ندرت در حال کلریتی شدن هستند. زیرکن دارای تقدم تشکیل نسبت به بیوتیت‌هاست و هاله پلنکروئیک اطراف زیرکن‌ها بینگ مقادیر بالای اورانیم و تیتانیم در این کانی است. بلورهای زیرکن اغلب شکل دار تا نیمه‌شکل دار هستند. بلورهای کوچکی از آپاتیت نیز به‌طور پراکنده و محدود درون کوارتز و پلاژیوکلازها وجود دارند.

ژئوشیمی سنگ کل

بر پایه پژوهش‌های صحرایی و میکروسکوپی، رخمنون گرانیتوئیدها در منطقه خلنج دارای ترکیب مونزو-گرانیت است (شکل 1). نتایج آنالیز ژئوشیمیایی سنگ کل نمونه‌های برگزیده از خلنج به روش‌های XRF و ICP-MS به همراه مقادیر نرم‌ماتیو سنجیده در جدول‌های 1 و 2 آورده شده‌اند.

ژئوشیمی سنگ کل و طبقه‌بندی گرانیتوئید خلنج

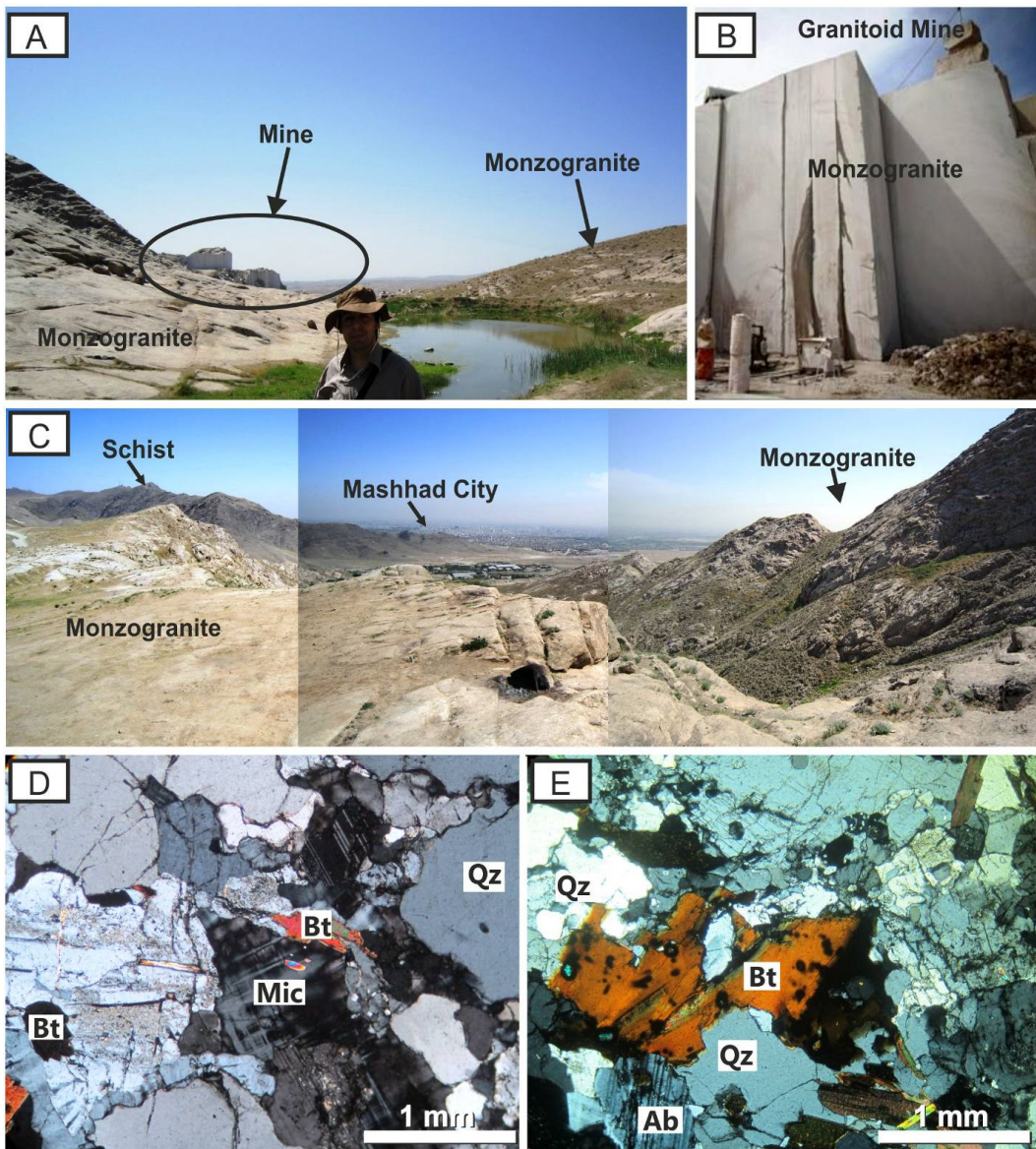
بر اساس آنالیز ژئوشیمیایی سنگ کل، نمونه‌های MG_{SiO₂}₇₂-73 درصد وزنی (A-3) بوده و در محدوده سنگ‌های اسیدی قرار دارند (شکل 4.1). بر اساس نمودار کاکس و همکاران (Cox et al., 1979) برای طبقه‌بندی سنگ‌های آذرین درونی بر اساس میزان K₂O، Na₂O و SiO₂ (شکل A-3)، نمونه‌های یادشده، گرانیتی هستند. بررسی نمونه‌ها در نمودار هوگز (Hughes, 1973) نشان می‌دهد که نمونه‌ها چندان دگرسان نشده‌اند (شکل B-3).

با توجه به محاسبه نورم CIPW (جدول 2)، نمونه‌های توده نفوذی خلنج روی نمودار نرم‌اتیو Q'ANOR (Streckeisen) در محدوده مونزو-گرانیت قرار دارند (شکل 3-C) که در توافق با نتایج بررسی‌های پتروگرافی است.

برابر 0/01 درصد وزنی است (به جز برای اکسید منگنز که 0/001 است). عناصر کمیاب نیز با دقت 0/1 بخش در میلیون (ppm) آنالیز شده‌اند. داده‌های آنالیزی حاصل با نمونه استاندارد GSP-2 که توسط USGS ارائه شده ارزیابی و مقایسه شدند. افزون بر این، نمونه‌ها برای آنالیز با استفاده از روش ICP-MS در آزمایشگاه ActaLabs کانادا آنالیز شدند. در فرایند گداخت نمونه‌ها با لیتیم تترابورات و لیتیم متaborات در یک بوته گرافیتی مخلوط شدند و سپس به‌وسیله Perkin Elmer Sciex ELAN 6000، 6100 9000 آنالیز شدند. مقایسه داده‌های حاصل با استانداردهای BIR-1a، W-2 و J-1 نشان‌دهنده دقتی بیش از پنج درصد برای عناصر کمیاب و دقت بیشتر از یک درصد وزنی برای عناصر اصلی است (البته به جز اکسید سدیم و مگنزیم که دارای دقت بهتر از سه درصد وزنی هستند). از نرم‌افزارهای CorelDraw و GCDKit 4.1 برای بررسی داده‌های ژئوشیمیایی، محاسبه دمای اشباع‌شده و رسم نمودارها استفاده شد.

سنگ تکاری مونزو-گرانیت خلنج

معدن سنگ گرانیت در جنوب و جنوب خاوری مشهد به صورت باریکه‌ای به طول 40 کیلومتر و عرض 10 کیلومتر گسترش یافته‌اند که بیشتر معدن سنگ گرانیت مشهد در گستره منطقه خلنج و به صورت مونزو-گرانیت است (شکل 2-A، B و C). رخمنون مونزو-گرانیت مشهد در منطقه خلنج دارای بافت گرانولار بوده و از کانی‌های کوارتز، پتاسیم فلدسپار، پلاژیوکلاز و میکا (شامل بیوتیت و مسکویت)، به همراه کانی‌های فرعی زیرکن و آپاتیت تشکیل شده است. بلورهای بی‌شکل کوارتز در ابعاد یک تا چند میلی‌متر بیش از 20 درصد حجمی سنگ را تشکیل داده‌اند و دارای خاموشی موجی ضعیف هستند (شکل D-2 و E). فلدسپارها شامل پلاژیوکلاز با منطقه‌بندی و ماکل ساده و پتاسیم فلدسپارها (ارتوكلاز و میکروکلین) با ماکل‌های کارلسbad و تارتن هستند (شکل D-2 و E). فراوانی پتاسیم فلدسپار نزدیک به فراوانی پلاژیوکلاز و یا اندکی بیشتر است. برخی از فلدسپارها در



شکل 2. A: رخمنون مونزو-گرانیت در منطقه خلنج و معدن سنگ آستان قدس رضوی، B: معدن گرانیت آستان قدس رضوی که در حال استخراج مونزو-گرانیت‌های منطقه است، C: چشم‌انداز گستردگی از مونزو-گرانیت به رنگ روشن و شیستهای منطقه که به صورت رخمنون مرتفع و تپه در جنوب شهر مشهد دیده می‌شوند، D: تصویر میکروسکوپی در حالت XPL از بافت گرانولار و کانی‌شناسی عمومی مونزو-گرانیت (کوارتز، میکروکلین، پلاژیوکلاز و بیوتیت) و E: تصویر میکروسکوپی در حالت XPL از بیوتیت با ادخال‌های فراوان زیرکن که در پیرامون هاله پلئوکروئیتیک دارند. علائم اختصاری از ویتنی و اوونز (Whitney and Evans, 2010) اقتباس شده است (Bt: بیوتیت، Qz: بیوتیت، Ab: آلبیت، Mic: میکروکلین).

Fig. 2. A: A view of Khalaj monzogranite and the Astan-e-Qods mine, B: A close view of minzing of minzogranite in the Astan-e-Qods mine, C: A wide view of light-colored monzogranite and the dark-colored schists in the south of Mashhad city, D: Photomicrograph (in XPL) of granular texture in monzogranite and its general mineralogy (quartz, microcline, plagioclase and biotite), and E: Photomicrograph (in XPL) of biotites containing lots of zircon inclusions with pleochroic halo. Abbreviations after Whitney and Evans (2010) (Bt: biotite, Qz: quartz, Ab: albite, Mic: microcline).

جدول ۱. نتایج آنالیز XRF و ICP-MS مونزوگرانیت خلنج (جنوب مشهد) (محاسبه اکسید آهن فرو و فریک بر اساس روش لومایتره (Le Maitre, 1976) برای سنگ‌های درونی)

Table 1. ICP-MS and XRF analytical data of Khalaj monzogranite (south of Mashhad) (Calculation of ferric and ferro oxides is based on method of Le Maitre (1976) for plutonic rocks).

Method	ICP-MS	XRF	XRF	XRF	XRF	XRF	XRF	XRF	XRF	Average	Standard Deviation
Sample no.	K-4-1	K-4-2	BD-1	CK	KA	TR	G2-1	G2-2	G2-3		
(in wt.%)	-	-	-	-	-	-	-	-	-	-	-
SiO₂	-	70.14	72.15	72.84	72.60	73.06	73.34	73.47	72.65	72.5	1.1
TiO₂	-	0.17	0.16	0.15	0.20	0.17	0.09	0.14	0.18	0.2	0.0
Al₂O₃	-	14.59	14.53	14.64	14.41	14.57	14.29	14.66	14.32	14.5	0.1
Fe₂O₃*	-	1.76	1.10	1.21	1.57	1.35	0.98	1.21	1.26	1.3	0.3
FeO	-	0.76	0.47	0.52	0.68	0.58	0.42	0.52	0.54	0.6	0.1
Fe₂O₃	-	0.93	0.58	0.64	0.83	0.71	0.52	0.64	0.66	0.7	0.1
MnO	-	0.04	0.04	0.07	0.05	0.04	0.10	0.08	0.10	0.1	0.0
MgO	-	0.34	0.26	0.24	0.30	0.24	0.12	0.31	0.29	0.3	0.1
CaO	-	1.07	1.08	1.00	1.21	1.04	1.15	0.98	1.31	1.1	0.1
Na₂O	-	2.84	3.29	3.45	3.43	3.38	3.27	3.51	3.17	3.3	0.2
K₂O	-	4.71	5.03	5.01	5.10	5.10	4.79	5.21	4.99	5.0	0.2
P₂O₅	-	0.23	0.14	0.14	0.14	0.14	0.16	0.13	0.16	0.2	0.0
LOI	-	-	0.96	1.06	0.89	0.91	1.03	1.21	0.87	1.0	0.1
Total	-	95.90	98.74	99.81	99.90	100.00	99.32	100.91	99.30	99.2	1.5
(in ppm)	-	-	-	-	-	-	-	-	-	-	-
V	5	38	6	4	5	6	4	3	8	8.8	11.1
Cr	30	11	48	45	40	45	88	59	89	51	25
Co	1	-	-	-	-	-	-	-	-	1.0	-
Ni	20	15	2	2	3	2	4	8	6	7	6
Cu	10	21	-	-	-	-	-	-	-	16	8
Zn	50	48	-	-	-	-	-	-	-	49	1
Ga	20	302	-	-	-	-	-	-	-	161	199
Ge	1.70	-	-	-	-	-	-	-	-	1.7	-
As	5.00	-	-	-	-	-	-	-	-	5.0	-
Rb	179	184	283	301	259	266	305	296	325	266	52
Sr	155	154	186	197	193	207	200	244	189	192	27
Y	10	46	8	10	10	9	18	20	18	17	12
Zr	51	68	76	89	91	84	-	-	-	77	15
Nb	15	16	26	26	26	27	-	-	-	23	6
Mo	2.00	-	-	-	-	-	-	-	-	2.0	-
Ag	0.50	-	-	-	-	-	-	-	-	0.5	-
In	0.10	-	-	-	-	-	-	-	-	0.1	-
Sn	9.00	-	-	-	-	-	-	-	-	9.0	-
Sb	0.20	-	-	-	-	-	-	-	-	0.2	-
Cs	10.00	-	-	-	-	-	-	-	-	10.0	-
Ba	392	-	415	388	450	542	300	591	410	436	92
La	16.10	-	27.87	29.33	31.40	32.40	-	-	-	27.4	6.6
Ce	31.80	-	52.88	62.12	60.23	66.32	-	-	-	55	14
Pr	3.45	-	5.16	6.57	5.98	6.23	-	-	-	5.5	1.2
Nd	12.60	-	17.62	19.87	18.76	19.06	-	-	-	17.6	2.9
Sm	2.92	-	3.57	4.33	3.97	4.21	-	-	-	3.8	0.6
Eu	0.68	-	0.65	0.81	0.69	0.76	-	-	-	0.7	0.1
Gd	2.74	-	2.74	2.97	2.91	2.82	-	-	-	2.8	0.1
Tb	0.45	-	0.39	0.40	0.39	0.42	-	-	-	0.4	0.0
Dy	2.25	-	1.78	1.82	1.94	2.01	-	-	-	2.0	0.2
Ho	0.34	-	0.27	0.31	0.29	0.31	-	-	-	0.3	0.0

ادامه جدول 1. نتایج آنالیز XRF و ICP-MS مونزو-گرانیت خلنج (جنوب مشهد) (محاسبه اکسید آهن فرو و فریک بر اساس روش لو مایتر (Le Maitre, 1976) برای سنگ‌های درونی)

Table 1 (Continued). ICP-MS and XRF analytical data of Khalaj monzogranite (south of Mashhad) (Calculation of ferric and ferro oxides is based on method of Le Maitre (1976) for plutonic rocks).

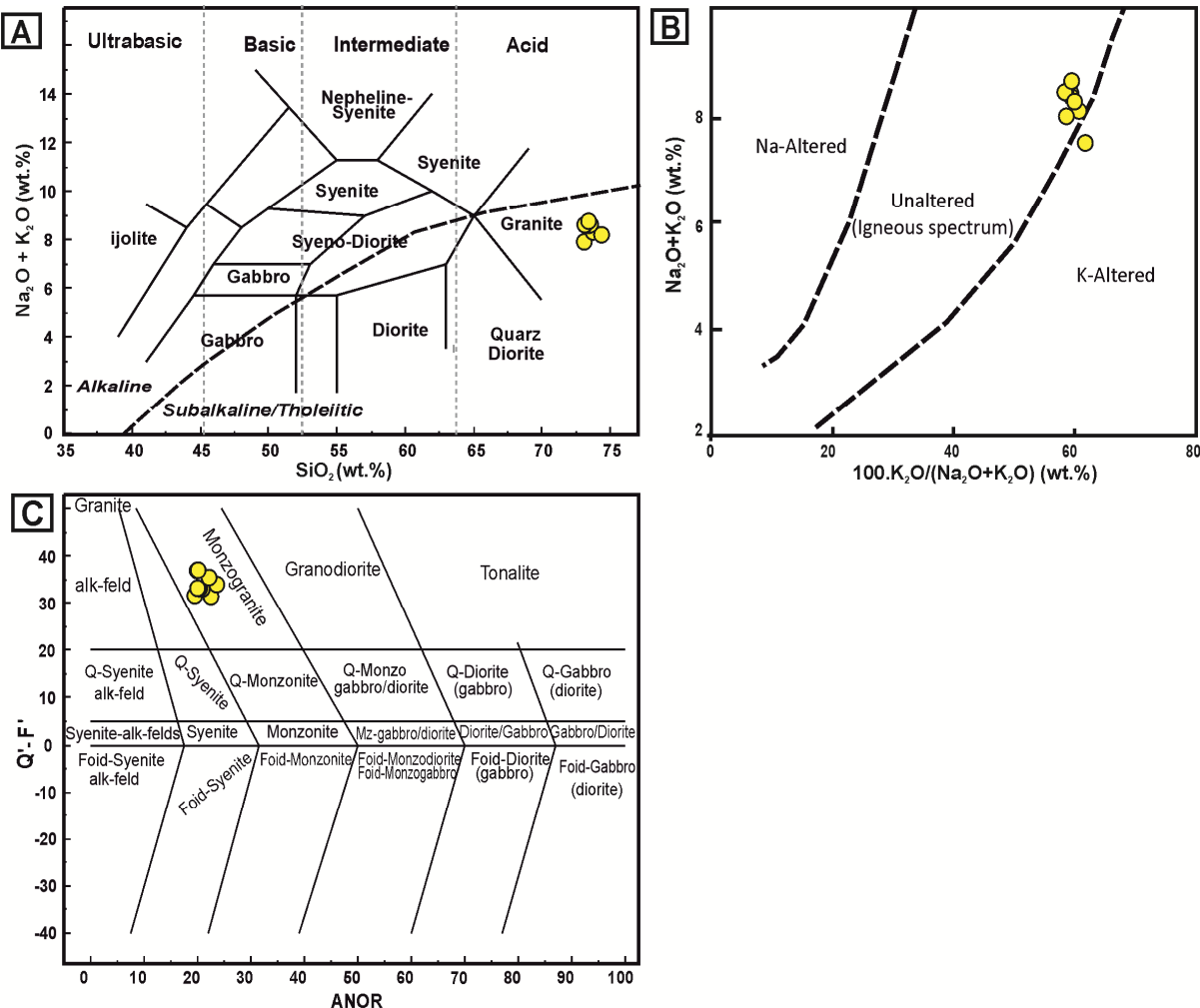
Table 1. Continued.

Method	ICP-MS	XRF	XRF	XRF	XRF	XRF	XRF	XRF	XRF	Average	Standard Deviation
Sample no.	K-4-1	K-4-2	BD-1	CK	KA	TR	G2-1	G2-2	G2-3		
(in ppm)											
Er	0.81	-	0.64	0.69	0.72	0.79	-	-	-	0.7	0.1
Tm	0.10	-	0.08	0.09	0.09	0.09	-	-	-	0.1	0.0
Yb	0.59	-	0.47	0.51	0.53	0.59	-	-	-	0.5	0.1
Lu	0.09	-	0.06	0.06	0.05	0.07	-	-	-	0.1	0.0
Hf	1.6	-	-	-	-	-	-	-	-	1.6	-
Ta	1.3	-	2.0	2.0	2.0	2.0	-	-	-	1.9	0.3
W	1	-	-	-	-	-	-	-	-	1.0	-
Tl	1.09	-	-	-	-	-	-	-	-	1.1	-
Pb	49	40	-	-	-	-	-	-	-	45	6.4
Bi	0.20	-	-	-	-	-	-	-	-	0.2	-
Th	7	12	12	15	16	13	-	-	-	13	3
U	2	11	4	5	3	6	-	-	-	5	3

جدول 2. نسبت‌های عنصری مورد استفاده و مقادیر محاسبه شده نرماتیو کانی‌ها به روش CIPW برای داده‌های ترکیب سنگ کل مونزو-گرانیت خلنج (جنوب مشهد) در جدول 1

Table 2. Element ratios and calculated values of normative minerals based on whole rock composition of monzogranite of Khalaj monzogranite (south of Mashhad) in table 1 by using CIPW method

Method	ICP-MS	XRF	XRF	XRF	XRF	XRF	XRF	XRF	XRF	Average	Standard Deviation
Sample no.	K-4-1	K-4-2	BD-1	CK	KA	TR	G2-1	G2-2	G2-3		
CIPW calculation											
A/CNK	-	1.24	1.13	1.13	1.08	1.12	1.13	1.11	1.10	1.1	0.0
A/NK	-	1.49	1.34	1.32	1.29	1.31	1.35	1.28	1.35	1.3	0.1
Eu/Eu*	0.73	-	0.63	0.69	0.62	0.67	-	-	-	0.7	0.0
(La/Yb) _n	18.5	-	40.3	39.1	40.2	37.3	-	-	-	35.1	9.3
(La/Lu) _{cn}	18.57	-	-	-	-	-	-	-	-	18.6	-
Q	-	33.4	31.5	31.5	30.5	31.7	33.8	30.9	32.3	32.0	1.2
C	-	3.4	2.0	2.1	1.4	1.9	2.0	1.8	1.7	2.0	0.6
Or	-	27.8	29.7	29.6	30.1	30.1	28.3	30.8	29.5	29.5	1.0
Ab	-	24.1	27.8	29.2	29.0	28.6	27.7	29.7	26.8	-	-
An	-	3.9	4.4	4.1	5.1	4.2	4.7	4.0	5.5	4.5	0.6
Di	-	0.0	0.0	0.0	0.0	0.0	0.0	0.0	0.0	0	0
Hy	-	0.9	0.7	0.6	0.8	0.6	0.3	0.8	0.7	0.7	-
Ol	-	0.0	0.0	0.0	0.0	0.0	0.0	0.0	0.0	0	0
Mt	-	0.4	0.0	0.0	0.0	0.0	0.1	0.0	0.0	0	0
Il	-	0.3	0.1	0.2	0.2	0.1	0.2	0.2	0.2	0	0
Hm	-	1.2	1.5	1.5	1.5	1.5	1.4	1.5	1.5	1	0
Ru	-	0.0	0.1	0.1	0.1	0.1	0.0	0.1	0.1	0.1	-
Ap	-	0.5	0.3	0.3	0.3	0.4	0.4	0.3	0.4	0.4	-



شکل 3. ترکیب سنگ کل مونزوگرانیت خلنج (جنوب مشهد) روی: A: نمودار دو متغیره مجموع آلکالی در برابر SiO_2 (Cox et al., 1979) B: نمودار طیف سنگ‌های آذرین (آذرین (Hughes, 1973) و C: نمودار نرماتیو Q'ANOR (Streckeisen and Le Maitre, 1979) (agr: آلکالی فلدسپار گرانیت، sgr: سینوگرانیت، mzgr: مونزوگرانیت، gd: گرانودیوریت، ton: تونالیت، q-mzd: کوارتز مونزودیوریت، mzd: مونزودیوریت، gab: گابرو)

Fig. 3. Composition of Khalaj monzogranite (south of Mashhad) on: A: Binary diagram of alkalis versus SiO_2 (Cox et al., 1979), B: Igneous rocks spectrum (Hughes, 1973), and C: Normative diagram of Q'ANOR (Streckeisen and Le Maitre, 1979) (agr: alkali feldspar granite, sgr: syenogranite, mzgr: monzogranite, gd: granodiorite, ton: tonalite, q-mz: quartz monzonite, q-mzd: quartz monzodiorite, mzd: monzodiorite, and gab: gabbro)

استفاده قرار می‌گیرند (Rollinson, 1993). برای بررسی عناصر فرعی در مونزوگرانیت خلنج از نمودارهای بهنجارسازی استفاده شد (شکل 4). بررسی عناصر فرعی این گرانیت‌وئیدها نشان می‌دهد که در مقایسه با ترکیب گوشه نخستین و

عنصر کمیاب خاکی به دلیل پویایی بسیار کمتر در محیط‌های زمین‌شناسی (دگرگونی و دگرسانی) و تفکیک به وسیله فرایندهای سنگ‌شناسی و زمین‌شناسی، در بررسی تحولات ماقمایی و مدل‌سازی پتروژئنیکی به گونه کارسازی مورد

به HREE را به نبود یا مقادیر اندک گارنت، آمفیبول و پیروکسن در ترکیب سنگ نسبت می‌دهند (Henderson, 1984؛ اما در برابر آن، نبود الگوی محدب عناصر خاکی کمیاب (در نمودار بهنجار شده نسبت به کندریت) و مقدار نسبتاً کم عناصر MREE (شامل Eu تا Dy) گویای حضور مقادیری از کانی‌های آمفیبول و گارنت در خاستگاه و یا هنگام تولید و جدایش مذاب‌های اولیه سازنده این سنگ‌ها و در نتیجه کاهش نسبی مقدار MREE در هنگام تولید مذاب‌های MG مونزو-گرانیتی است. آنومالی منفی تیتانیم در نمونه‌های MG خلچ تا اندازه‌ای بیش از انگر می‌زان تفریقی افغانی مذاب این سنگ‌هاست.

بر اساس مقایسه ترکیب عناصر فرعی این سنگ‌ها با ترکیب میانگین پوسته زیرین (شکل 4-C)، نمونه‌های MG خلچ از نظر LILE و LREE نهی شده‌تر از پوسته زیرین هستند؛ اما در مراتب بالاتری دارند. در مقایسه با ترکیب پوسته بالایی (شکل 4-D) نیز الگوی عناصر در نمونه‌های MG خلچ تا اندازه‌ای تهی شدگی نشان می‌دهند (به ویژه از عناصر HREE).

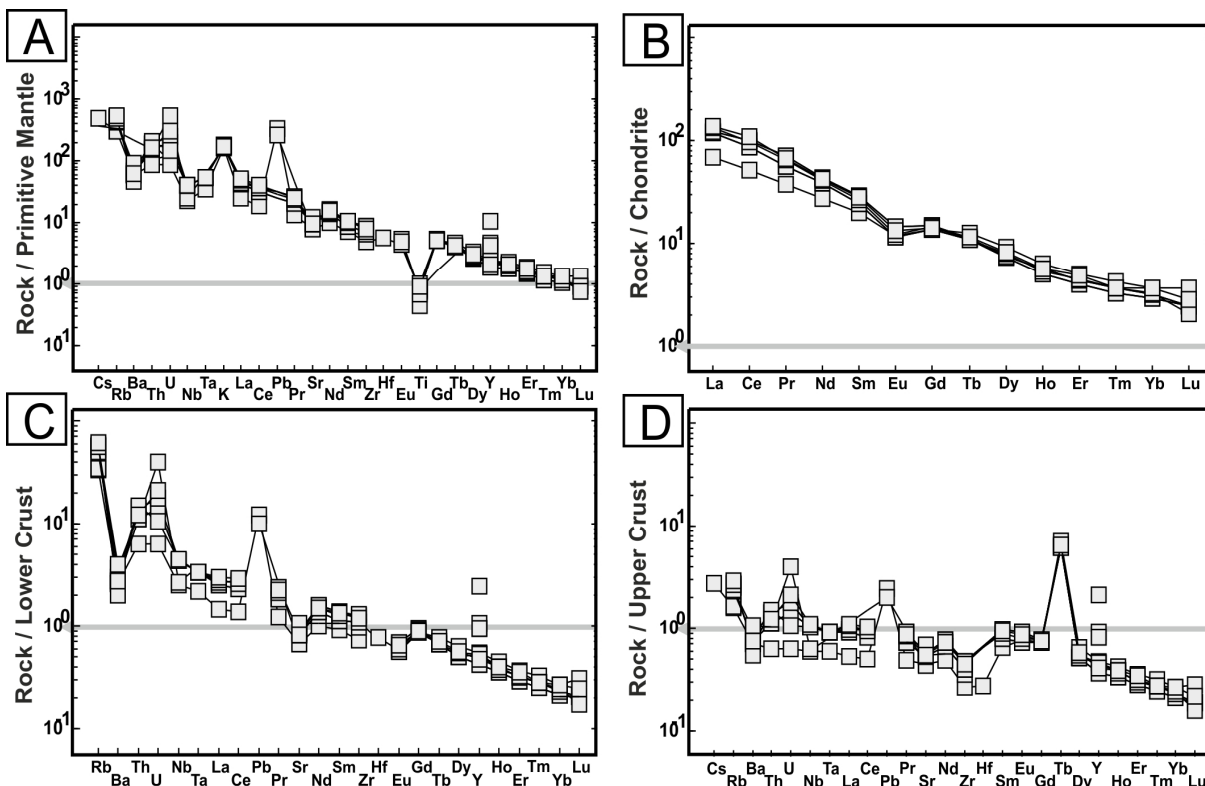
خاستگاه و محیط تکتونوماگماتیک مونزو-گرانیت خلچ

آشکار ساختن زنجیره ماگمایی مجموعه‌های سنگی پیک ناحیه در پژوهش‌های سنگ‌شناسی و بررسی محیط تکتونوماگماتیک مذاب از ارزش ویژه‌ای برخوردار است و نوع زنجیره ماگمایی سازنده سنگ‌ها می‌تواند به عنوان کلیدی بین‌ادین در حل مسائل پژوهنی و به خصوص جایگاه ژئودینامیکی منطقه مورد توجه قرار گیرد. چنان‌که در شکل‌های A-3 و A-5 مشاهده می‌شود، نمونه‌ها دارای ماهیت کالک‌آلکالن پتاسیم بالا هستند. از سوی دیگر، درجه اشباع شدگی از آلومینیم که در آشکار ساختن منشأ ماگمای گرانیت‌وئیدی به عنوان پیک عامل بر جسته پذیرفته شده است، در نمونه‌های مورد مطالعه بررسی شد. سنگ‌ها را برابر اساس میزان اشباع از آلومینیم به سه گروه پرآلومین (A/CNK > 1)، متألومین (A/CNK < 1 و A/NK > 1) و پرآلکالن (A/CNK < 1 و A/NK < 1) تقسیم می‌کنند (Clarke, 1992). از دیدگاه چاپل و ولیت

کندریت، این سنگ‌ها از نظر همه عناصر فرعی غنی شدگی دارند (شکل 4-A و B). همچنین، بررسی نمودار عنصری بهنجار شده به ترکیب کندریت نشان می‌دهد که نمونه‌های مورد بررسی دارای آنومالی منفی یوروپیم هستند (شکل 4-B). مقادیر بدست آمده Eu^*/Eu برای نمونه‌های MG خلچ 0/62 - 0/73 است که بر اساس تیلور و مکلن (McLennan, 1985) نشان‌دهنده آنومالی منفی یوروپیم (Eu/Eu* < 1) است (جدول 2). عنصر Eu دارای ظرفیت‌های Eu^{2+} و Eu^{3+} بوده و نسبت آنها به فوگاسیته اکسیژن بستگی دارد. میزان کم Eu^*/Eu می‌تواند به دلیل فوگاسیته بالای اکسیژن در محیط تکتونوماگمایی مرتبط با فرورانش و یا میزان کم پلازیوکلاز در مذاب این سنگ‌ها (به دلیل تفریق بلوری فلدسپار) (Rollinson, 1993) باشد. البته در برخی موارد نیز آنومالی منفی یوروپیم، مانند شیکازونو (Shikazono, 2003) و ال-کامار و همکاران (El-Kammar et al., 2001) به دلیل عملکرد دگرسانی گرمایی و مانند آلدرتون و همکاران (Alderton et al., 1980) به دلیل سریسیتی شدن فلدسپارهاست. تفریق پلازیوکلاز افزون بر کاهش آنومالی یوروپیم، سبب تهی شدگی مذاب از نظر عناصر Ba و Sr نیز می‌شود؛ از این‌رو آنومالی منفی یوروپیم را می‌توان به این عامل نسبت داد. زیرا تمايل یوروپیم برای جانشینی شدن به جای عناصر موجود در پلازیوکلازها (کلسیم، باریم و استرانسیم) بیشتر است؛ اما از سوی دیگر، در مقایسه با مقدار عناصر HREE (شامل Gd، Tb، Y، Dy، Yb و Lu)، عناصر LILE (شامل Nd، Ce، La، Zr، Cs، Th و Rb) (شامل Sr، Ba، Zr و Sm) غنی شدگی بیشتری نشان می‌دهند (شکل 4). این امر با فراولنی بالاتر پتاسیم فلدسپار و فراولنی کم کانی‌های فرومگنزین نسبت به ترکیب کندریت یا گوشته اولیه سازگار است. بر اساس نمودارهای بهنجار شده (شکل 4)، حضور مقادیر بالاتر پتاسیم فلدسپار نسبت به پلازیوکلاز موجب افزایش میزان پتاسیم و رویدیم (نسبت به باریم و استرانسیم) و کاهش آنومالی یوروپیم نیز شده است. افزون بر این، نسبت بالای

(1/49) در جدول 2 آمده است. بررسی نمونه‌ها روی نمودار گیل (Gill, 2010) نشان می‌دهد که نمونه‌های MG خلنج دارای ماهیت پرآلومین هستند (شکل 5-B).

(Chappell and White, 2001) درجه اشباع از آلومینیم نشانه ماهیت و نهاد موادی است که گرانیت‌ها از آن منشأ گرفته‌اند. اساس تعیین این عامل مقادیر مولکولی Al_2O_3 , Na_2O , K_2O , CaO و TiO_2 است. مقادیر A/CNK (1/24 ~) تا A/NK (1/08 ~) و A/CNK (1/28 ~) تا 1/08 است.



شکل 4. نمودارهای چندعنصری ترکیب مونزو گرانیت خلنج (جنوب مشهد) به هنگارشده به: A: ترکیب گوشه اولیه، B: ترکیب کندربیت، C: ترکیب پوسته زیرین و D: پوسته بالایی. داده‌های به هنگارسازی برای گوشه اولیه و کندربیت برگرفته از مکدوناف و سان (McDonough and Sun, 1995) و داده‌های ترکیب پوسته مربوط به تیلور و مکلن (Taylor and McLennan, 1981) هستند.

Fig. 4. Multi-element diagrams for composition of Khalaj monzogranite (south of Mashhad), normalized to: A: Primitive mantle composition; B: Chondrite composition; C: Lower crust Composition, and D; Upper crust composition. Normalization values for primitive mantle and chondrite are from McDonough and Sun (1995) and values for crust composition are from Taylor and McLennan (1981).

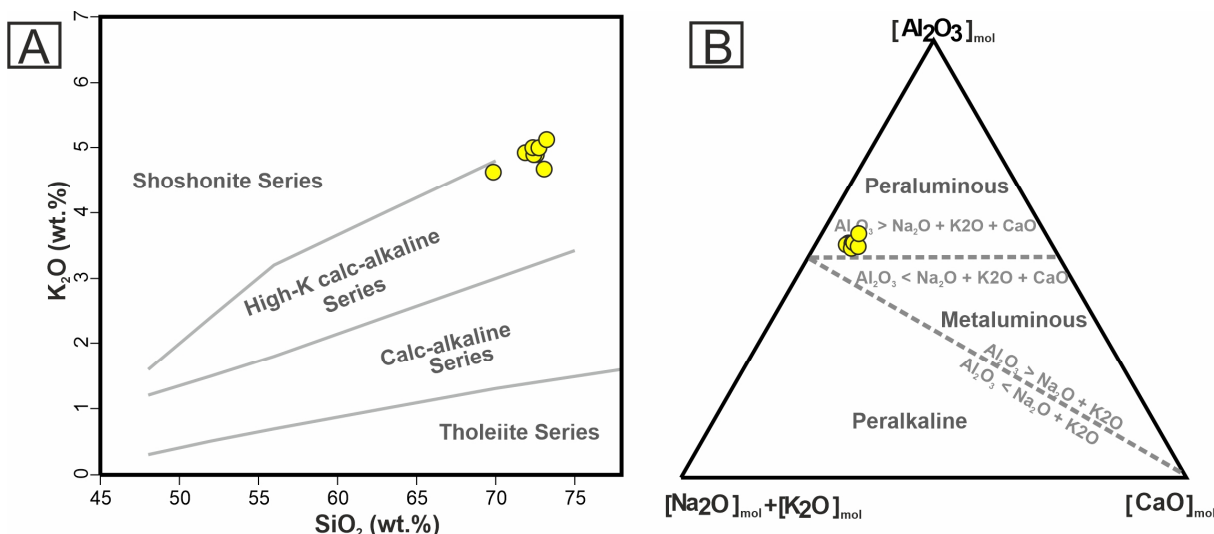
گرانیتوئیدهای کم تا بسیار پرآلومین استفاده شده است. بر اساس این نمودار نیز نمونه‌های MG خلنج نیز به طور ناهمسانی در محدوده گرانیتوئیدهای پرآلومینوس فلیسیک قرار گرفته‌اند. فرآگیرترین رده‌بندی برای خاستگاه گرانیت‌ها، تقسیم‌بندی آنها

در پژوهش‌های ویلاسکا و همکاران (Villaseca et al., 1998)، از نمودار A-B (شکل 6) برای بررسی درجه اشباع شدگی از آلومینیم گرانیتوئیدها استفاده شده است. در این نمودار نقش عناصر آهن، منیزیم و تیتانیم در تفکیک

پرآلومین هستند را می‌توان در گروه گرانیتوئیدهای نوع S دسته‌بندی کرد (شکل 6- B و C). مقایسه نمونه‌های مورد بررسی با نمونه‌های نوع I و S کمرنند چین خورده لاقلان و نیز چندین نمونه از گرانیتوئیدهای نوع I جهان نشان‌دهنده ناهمانند بودن نمونه‌های MG خلنج با گرانیتوئیدهای نوع I و داشتن روندی مشابه گرانیتوئیدهای نوع S است (شکل 6- E).

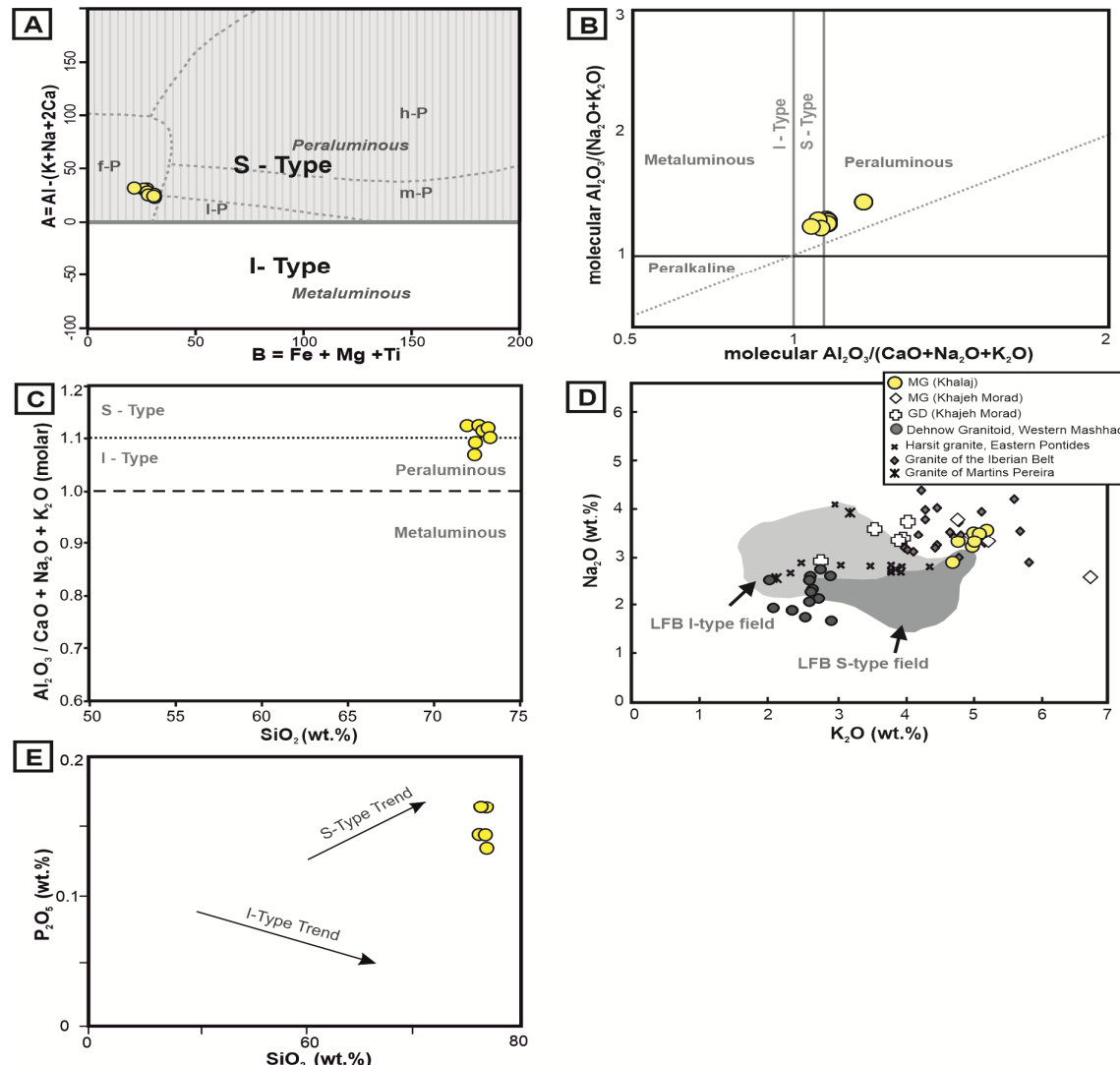
از سوی دیگر، دارا بودن کرندول نرماتیو را نیز از اختصاصات گرانیتوئیدهای S می‌دانند. بر اساس جدول 2، کرندول در نمونه‌های MG خلنج بالاتر از 1/2 است. حضور کانی‌های هورنبلند و بیوتیت که از اختصاصات گرانیتوئیدهای I است (Barbarin, 1999) در نمونه‌های MG خلنج دیده نمی‌شود؛ اما وجود مسکویت فراوان موجب همانندی آنها به گرانیتوئیدهای S شده است. بر اساس صمدی (Samadi, 2013) وجود انکلاوهای سورمیکاسه و رسوبی در توده نفوذی خلنج نیز از دیگر ویژگی‌هایی است که گویای ماهیت S نمونه‌های MG خلنج است.

به گروههای I و S است که در ادامه بحث به بررسی آنها پرداخته خواهد شد. بر اساس پژوهش‌های چاپل و وايت (Chappell and White, 2001) (عبارتند از: 1) مراحل نخستین تبلور بخشی مذاب‌های گوشه‌ای، 2) ذوب بخشی مستقیم سنگ‌های با خاستگاه گوشه‌ای در پوسته و 3) ذوب گوشه‌ای که ترکیب آن در اثر مذاب‌های غنی از سیلیس (رگه‌های پیروکسنیتی) متخلخل شده است. بنابراین، بر اساس چاپل و وايت (Chappell and White, 1992) و پیچر (Pitcher, 1993)، مواد اولیه که در تشکیل مذاب‌های I شرکت می‌کنند، دارای ماهیت ژئوشیمیایی بازالتی تا آندزیتی هستند. همچنین، پژوهش‌های تجربی چاپل و همکاران (Chappell et al., 2012) نشان‌داده است که در دماهای بالای ذوب بخشی، کلینوپیروکسن و ترکیبات کلسیم‌دار دیگر، در منشأ ذوب شده و موجب متابالومین شدن مذاب‌های حاصل می‌شوند. از این‌رو، گرانیت‌های نوع I دارای ماهیت متابالومین هستند و گرانیت‌های نوع S ماهیت پرآلومین دارند. به این ترتیب، نمونه‌های MG منطقه خلنج که کاملاً در محدوده



شکل 5. ترکیب سنگ کل مونزو-گرانیت خلنج (جنوب مشهد) روی: A: نمودار K_2O در برابر SiO_2 (Peccerillo and Taylor, 1976) و B: نمودار سه‌تایی بر اساس Al_2O_3 , CaO , Na_2O و K_2O (Gill, 2010)

Fig. 5. Composition of Khalaj monzogranite (south of Mashhad) on: A: K_2O versus SiO_2 diagram (Peccerillo and Taylor, 1976), and B: Ternary diagram of molar Al_2O_3 , CaO , Na_2O and K_2O (Gill, 2010)

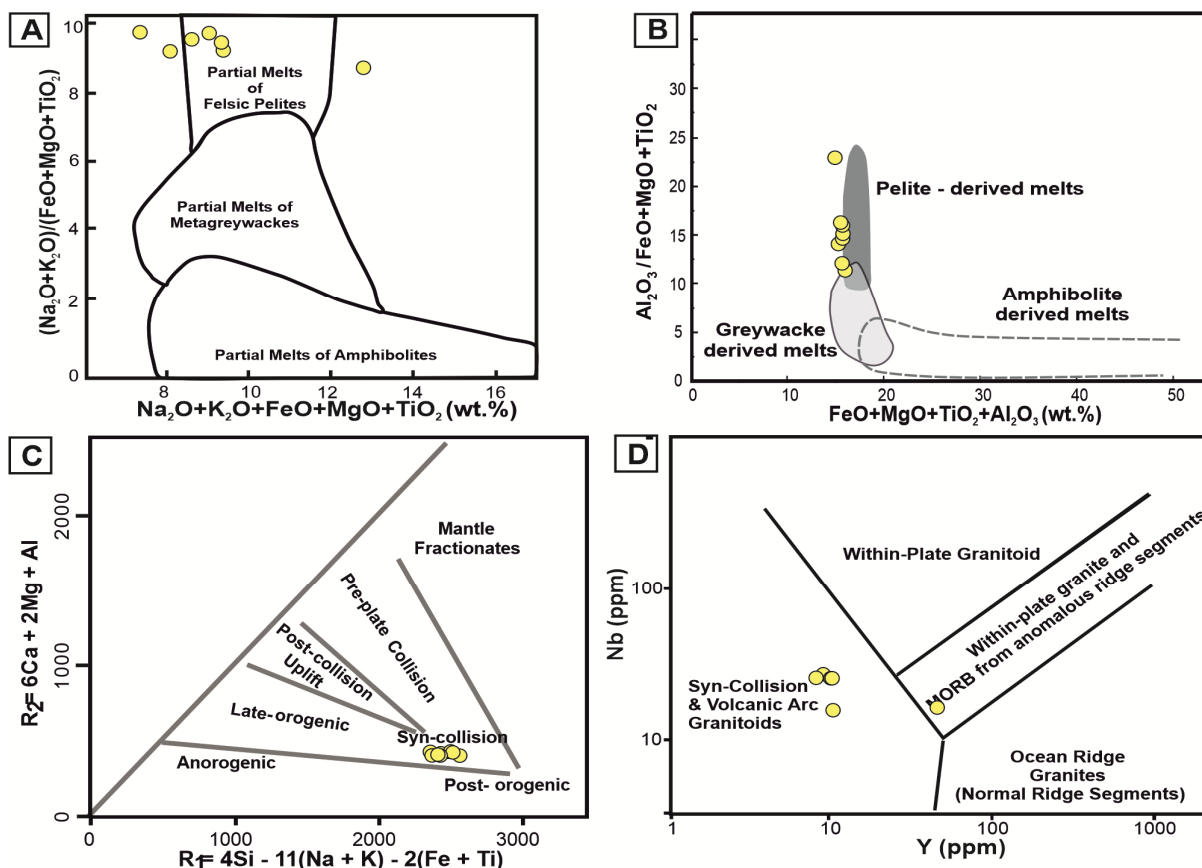


شکل 6. ترکیب مونزوگرانیت خلنج (جنوب مشهد) روی: A: نمودار A-B (Villaseca et al., 1998) (f-P: گرانیتوئیدهای فوق فلزیک پرآلومین، I-P: گرانیتوئیدهای کم پرآلومین، m-P: گرانیتوئیدهای متوسط پرآلومین، h-P: گرانیتوئیدهای سیار پرآلومین)، B: نمودار A/CNK/A/NK در برابر (Chappell and Maniar and Piccoli, 1989) و محدوده گرانیت‌های نوع I و S (Maniar and Piccoli, 1989) و زن (Zen, 1986)، C: نمودار A/CNK versus SiO_2 در برابر (Chappell and White, 2001) (داده‌های مربوط به مناطق خواجه‌مراد، دنه، Harsit و Martins Pereira به ترتیب برگرفته از صمدی و همکاران (Samadi et al., 2015)، صمدی و همکاران (Samadi et al., 2014)، کارسلی و همکاران (Karsli et al., 2010) و یلاسکا و همکاران (Villaseca et al., 2009) و آلمیدا و همکاران (Almeida et al., 2007) در برابر SiO_2)، D: نمودار Na_2O (wt.%) versus K_2O (wt.%) برای تفکیک گرانیت‌های نوع I و S (Zen, 1986) (White, 2001) (داده‌های مربوط به مناطق خواجه‌مراد، دنه، Harsit و Martins Pereira به ترتیب برگرفته از صمدی و همکاران (Samadi et al., 2015)، صمدی و همکاران (Samadi et al., 2014)، کارسلی و همکاران (Karsli et al., 2010)، Villaseca et al. (2009) و آلمیدا و همکاران (Almeida et al., 2007) در برابر P_2O_5) و E: نمودار SiO_2 (wt.%) versus P_2O_5 (wt.%) (Chappell and White, 1992).

Fig. 6. Composition of Khalaj monzogranite (south of Mashhad) on: A: A-B diagram (Villaseca et al., 1998) (f-P: felsic peraluminous granitoids, h-P: high peraluminous granitoids, m-P: medium peraluminous granitoids, I-P: low peraluminous granitoids), B: A/CNK versus A/NK diagram (Maniar and Piccoli, 1989) and compositional domains of I and S-type granites, C: A/CNK versus SiO_2 diagram (after Chappell and White (2001) and Zen (1986)), D: Na_2O versus K_2O for discrimination of I- and S-type granites of Lachlan folded belt (LFB) (data for Khajeh Morad, Dehnow, Harsit, Iberian and Martins Pereira are from Samadi et al. (2015), Samadi et al. (2014), Karsli et al. (2010), Villaseca et al. (2009) and Almeida et al. (2007), respectively), and E: SiO_2 versus P_2O_5 diagram (Chappell and White, 1992).

بر اساس زانچی و همکاران (Zanchi et al., 2011) گرانیتوئیدهای مشهد در ورقه توران و در امتداد قوس پامیر مشهد و در اثر برخورد ورقه ایران مرکزی با اوراسیا و بسته شدن پالئوتیس در اوخر تریاس تشکیل شده‌اند. در نمودار Nb در Pearce Y (Pearce et al., 1984) نیز مشاهده می‌شود که نمونه‌های MG خلچ که نوع S هستند با گرانیتوئیدهای هم‌زمان با برخورد همسانی نشان می‌دهند (شکل C-7 و D).

بر اساس نمودارهای $(\text{Na}_2\text{O} + \text{K}_2\text{O}) / (\text{FeO} + \text{MgO} + \text{TiO}_2)$ در برابر $\text{Na}_2\text{O} + \text{K}_2\text{O} + \text{FeO} + \text{MgO} + \text{TiO}_2$ (Almeida et al., 2007) نمودار $\text{Al}_2\text{O}_3 / (\text{FeO} + \text{MgO} + \text{TiO}_2)$ در برابر $\text{Al}_2\text{O}_3 + \text{FeO} + \text{MgO} + \text{TiO}_2$ (Patiño Douce, 1999)، نمونه‌های MG (شکل 7) در گرفته‌اند؛ شکل قدیمی تر به سن ژوراسیک که این توده را در بر گرفته‌اند؛ شکل 1 است.

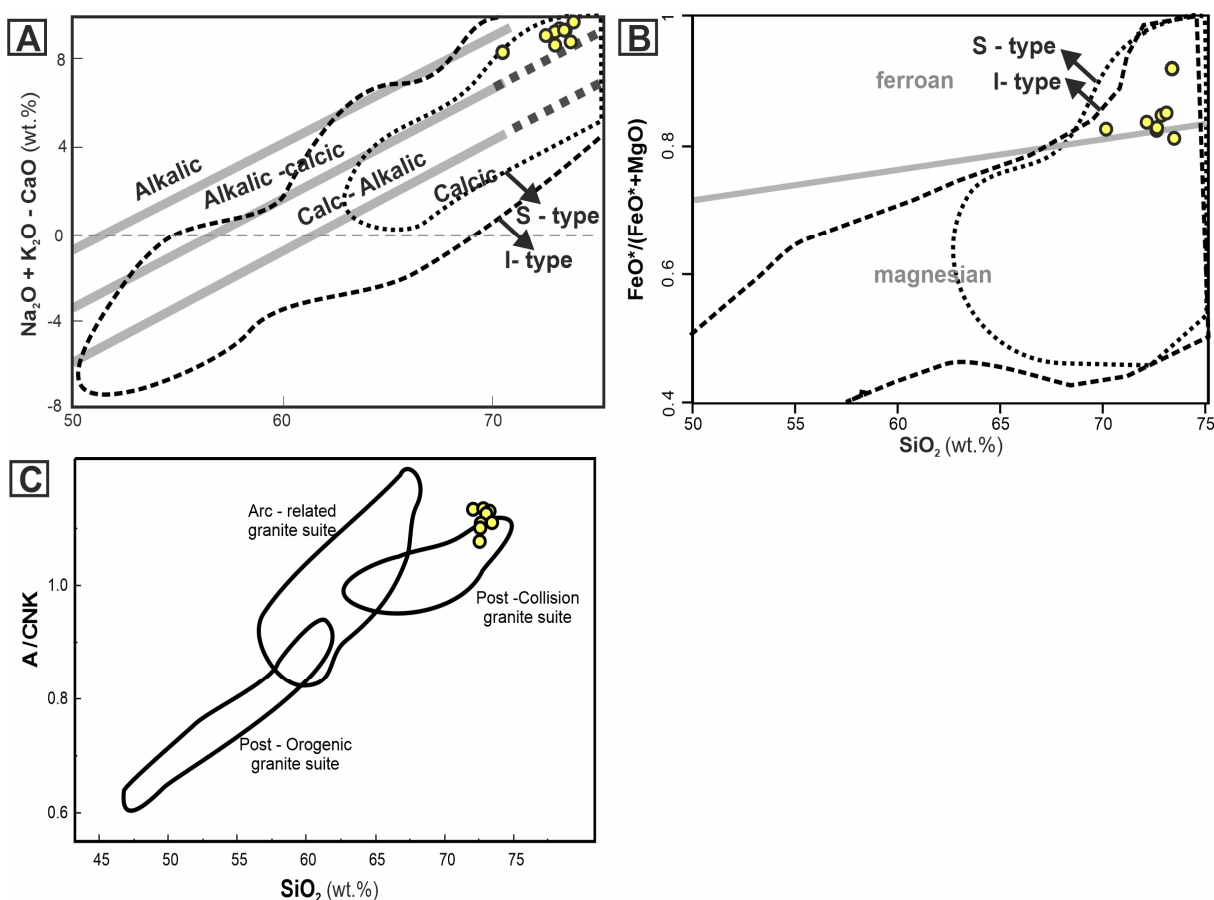


شکل 7. ترکیب مونزو-گرانیت خلچ (جنوب مشهد) روی: A: نمودار $(\text{Na}_2\text{O} + \text{K}_2\text{O}) / (\text{FeO} + \text{MgO} + \text{TiO}_2)$ در برابر $(\text{Na}_2\text{O} + \text{K}_2\text{O} + \text{FeO} + \text{MgO} + \text{TiO}_2)$ (Almeida et al., 2007)، B: نمودار $\text{Al}_2\text{O}_3 / (\text{FeO} + \text{MgO} + \text{TiO}_2)$ در برابر $\text{Al}_2\text{O}_3 + \text{FeO} + \text{MgO} + \text{TiO}_2$ (Patiño Douce, 1999)، C: نمودار $R_1 - R_2$ برای تمایز زمین ساختی انواع گرانیتوئیدها (Batchelor and Bowden, 1985) و D: نمودار Nb در برابر Y (Pearce et al., 1984)

Fig. 7. Composition of Khalaj monzogranite (south of Mashhad) on: A: $(\text{Na}_2\text{O} + \text{K}_2\text{O}) / (\text{FeO} + \text{MgO} + \text{TiO}_2)$ versus $(\text{Na}_2\text{O} + \text{K}_2\text{O} + \text{FeO} + \text{MgO} + \text{TiO}_2)$ diagram (Almeida et al., 2007), B: $\text{Al}_2\text{O}_3 / (\text{FeO} + \text{MgO} + \text{TiO}_2)$ versus $(\text{Al}_2\text{O}_3 + \text{FeO} + \text{MgO} + \text{TiO}_2)$ diagram (Patiño Douce, 1999), C: $R_1 - R_2$ diagram of discrimination of tectonic settings of granitoids (Batchelor and Bowden, 1985), and D: Nb versus Y (Pearce et al., 1984)

آلکالی کلسیک و پرآلومین دارند، همانند گرانیت‌های نوع A و گرانوفیرهای همراه با توده و دایک‌های مافیک هستند. در نمودارهای A/CNK/A در برابر SiO_2 (شکل 8) (Sahin et al., 2004) ارائه شده است، ساهین و همکاران (Frost et al., 2001) نمونه‌های MG خلنج در محدوده گرانیت‌های پس از برخورد قرار دارند. بر اساس مطالعه بیان شده مذاب‌های مولد MG هنگام ذوب رسوبات آب دار در پوسته قاره‌ای ضخیم شده منطقه و در مراحل برخورد تا پس از برخورد به وجود آمدند.

در پژوهش فروست و همکاران (Frost et al., 2001)، بر اساس نمایه مالی¹ و میزان $(\text{FeO}^*/(\text{FeO}^*+\text{MgO}))$ ، نمونه‌های MG خلنج در محدوده آلکالی کلسیک (شکل A-8) (A) و فروئن (شکل B-8) (B) قرار دارند که با محدوده گرانیت‌های نوع S منطقه لچلان استرالیا همپوشانی ترکیبی دارد. این امر به دلیل سدیم و پتاسیم بالاتر نمونه‌های اسیدی خلنج است. بر اساس طبقه‌بندی فروست و همکاران (Frost et al., 2001) نمونه‌های MG خلنج نیز که دو میکائی بوده و ترکیب فروئن،



شکل 8. ترکیب موذن‌وگرانیت خلنج (جنوب مشهد) روی نمودارهای رده‌بندی و تمایز محیط زمین‌ساختی $\text{Na}_2\text{O}+\text{K}_2\text{O}-\text{CaO}:\text{A}$ در برابر SiO_2 (بر اساس Frost et al., 2001) (wt.%) (B)، نمودار $\text{FeO}^*/(\text{FeO}^*+\text{MgO})$ در برابر SiO_2 (بر اساس Sahin et al., 2004) (wt.%) (C) (Frost et al., 2001) (wt.%) (B)، نمودار A/CNK در برابر SiO_2 (بر اساس Frost et al., 2001) (wt.%) (C).

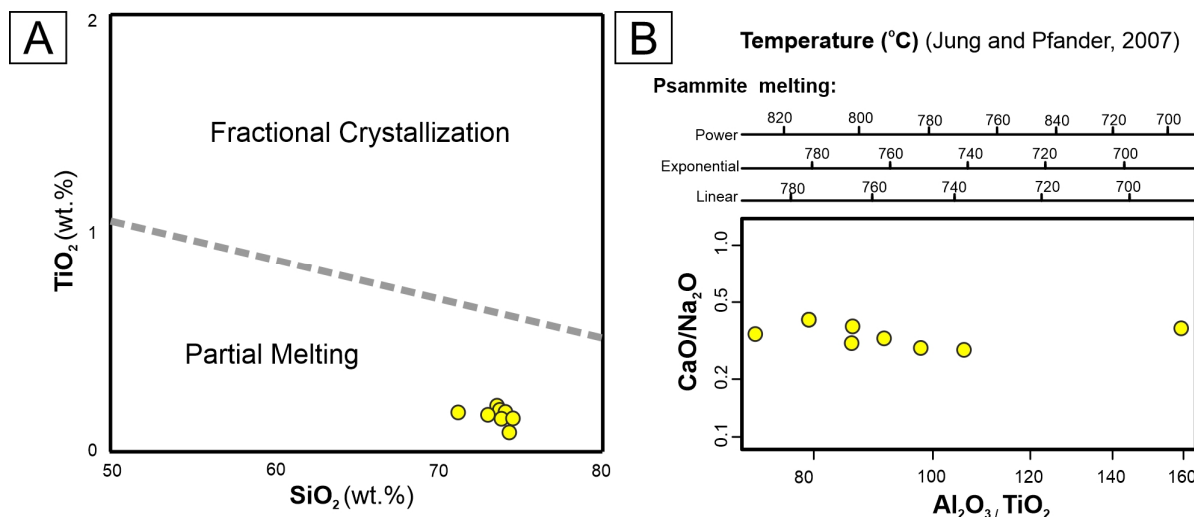
Fig. 8. Composition of Khalaj monzogranite (south of Mashhad) on the classification and tectonic discrimination diagrams of A: $\text{Na}_2\text{O}+\text{K}_2\text{O}-\text{CaO}:\text{A}$ versus SiO_2 (in wt.%), B: $\text{FeO}^*/(\text{FeO}^*+\text{MgO})$ versus SiO_2 (in wt.%) (Frost et al., 2001), and C: A/CNK versus SiO_2 (in wt.%) (Sahin et al., 2004)

1. MALI = Modified Alkali Lime Index

نزدیک به 700 تا 800 درجه سانتی گراد بوده باشد. سیلوستر (Sylvester, 1998) نشان داده که نسبت $\text{Al}_2\text{O}_3/\text{TiO}_2$ در مذاب‌های گرانیتی به تغییرات دمایی حساس است و با افزایش دما در هنگام آناتکسی پوسته، مقدار آن کاهش می‌یابد. بر اساس بررسی‌های یانگ و فاندر (Jung and Pfänder, 2007)، نسبت $\text{Al}_2\text{O}_3/\text{TiO}_2$ در سنگ‌مادرهای گوناگون می‌تواند زمین‌دانستگی برای بررسی ذوب باشد. در حقیقت، این نسبت به تبلور ایلمینیت و اسفن وابسته است. بر اساس شکل A-B-9، ترکیب گرانیت خلنج در گستره سنگ‌هایی حاصل از ذوب ماسه‌سنگی و پسامیتی، دمای نزدیک به 730 تا 800 درجه سانتی گراد را نشان می‌دهد.

ماگمازایی و فرایندهای سازنده مذاب گرانیتی
گرانیت‌های می‌توانند پیامد فرایندهای ساده یا پیچیده‌ای (مانند آناتکسی، هضم، اختلاط ماگمازایی و تبلور بخشی و حتی دگرگونی و متاسوماتیسم محلی) باشند. ماگماهایی که ترکیب گرانیتی دارند، می‌توانند پیامد ذوب‌بخشی سنگ‌مادرهایی با ترکیب‌های گوناگون یا محصول پایانی جدایش¹ ماگماهای مافیک باشند (Clemens and Stevens, 2012). درباره نمونه‌های خلنج، روند پیدایش این سنگ‌ها همانند روند ذوب‌بخشی یا ذوب رایلی است (شکل A-9) که بنا به تعریف، در اثر این فرایند، کانی‌ها پس از تبلور، پیوسته از مذاب جدا می‌شوند و با آن در تعادل شیمیایی نیستند.

همه گرانیت‌های نوع S از دیدگاه خاستگاه، کم‌دما² به حساب می‌آیند و دمای پیدایش مذاب پدیدآورنده آنها می‌تواند تا



شکل 9. ترکیب مونزو-گرانیت خلنج (جنوب مشهد) در A: نمودار SiO_2 در برابر TiO_2 (Koepke et al., 2007) و B: نمودار $\text{Al}_2\text{O}_3/\text{TiO}_2$ در برابر $\text{CaO}/\text{Na}_2\text{O}$ بر اساس روش دماستگی برپایه ذوب پسامیت‌ها (Rapp and Watson, 1995) (با نرم‌افزار GCDKit (Rapp and Watson, 1995) به کمک GCDKit)

Fig. 9. Composition of Khalaj monzogranite (south of Mashhad) on: A: SiO_2 versus TiO_2 diagram (Koepke et al., 2007), and B: $\text{Al}_2\text{O}_3/\text{TiO}_2$ versus $\text{CaO}/\text{Na}_2\text{O}$ diagram based on thermometry of psammite melting (Rapp and Watson, 1995) by GCDKit software

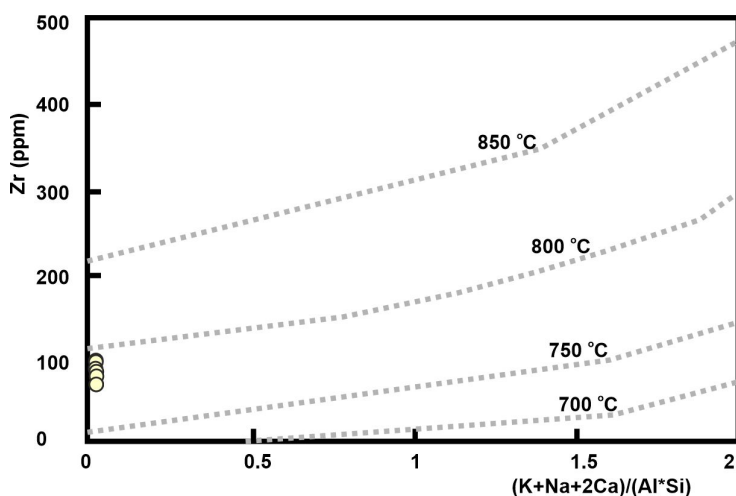
Watson and Harrison, 1983
نشان می‌دهد. زیرکن‌های بهارث‌رسیده گواهی برای اشباع‌بودن

همچنین، تبلور بلورهای زیرکن (شکل 2)، اشباع‌شدگی مذاب نخستین از عنصر زیرکنیم (Watson and Capobianco,

1. fractionation
2. low-temperature

سانتی گراد بوده است (شکل 10)، اما با به کارگیری روش هریسون و واتسون (Watson and Harrison, 1983) و همچنین، نرم‌افزار GCDKit و بر اساس ترکیب عنصرهای اصلی، مقدار عنصر زیرکنیم، دماهای اشباع شدگی از زیرکنیم به صورت 732 تا 745 درجه سانتی گراد و میزان اشباع شدگی از زیرکنیم برابر با 85/8 ppm 100/4 ppm محاسبه شد (جدول 3).

ما گاما از عنصر زیرکنیم هستند. بر اساس رده‌بندی میلر و همکاران (Miller et al., 2003) نیز گرانیت خلنج از گروه گرانیتوئیدهای کم‌دماهی است که از زیرکن‌های بهارث رسیده سرشار بوده و دمای اشباع شدگی از زیرکنیم (T_{Zr}) آنها کمتر از 800 درجه سانتی گراد است. بر اساس میزان اشباع شدگی از زیرکنیم، دمای این توده بیشتر از 750 درجه سانتی گراد و نزدیک به 800 درجه



شکل 10. ترکیب مونزوگرانیت خلنج (جنوب مشهد) در نمودار مقدار $(K+Na+2Ca)/(Al^*Si)$ (بر اساس مقدار کاتیونی عنصرها) در برابر مقدار Zr (Watson and Harrison, 1983) ppm

Fig. 10. Composition of Khalaj monzogranite (south of Mashhad) on $(K+Na+2Ca)/(Al^*Si)$ (based on cationic values of elements) versus Zr diagram (in ppm) (Watson and Harrison, 1983)

جدول 3. دمای اشباع شدگی زیرکن و آپاتیت بر اساس مقدار عنصرهای اصلی و زیرکنیم در گرانیت خلنج با استفاده از نرم‌افزار 4.1 GCDKit (M: نسبت‌های کاتیونی $K:Na:Al:Si$; Zr_{sat} : اشباع شدگی از زیرکنیم برای دمای پیشنهادی؛ T_{Zr} : دمای اشباع شدگی زیرکن برای سنگ‌های پرآلومین)

Table 3. Saturation temperature of zircon and apatite based on vontents of major elements and Zr in Khalaj monzogranite by using GCDkit 4.1 software (M: cationic ratios of $100(Na+K+2Ca)/(Al:Si)$; Zr: Zr content; Zr_{sat} : saturation of Zr for the suggested temperature; T_{Zr} : Saturation temperature of zircon for peraluminous rocks).

Sample No.	M	Zr (ppm)	Zr_{sat} (ppm)	T_{Zr} (°C)
K-4	1.17	68	85.8	732
BD-1	1.28	76	94.7	732
CK	1.28	89	94.7	745
KA	1.35	91	100.4	742
TR	1.29	84	95.5	740

پسابرخورده بوده و محصول ذوب رسوبات پوسته بالایی در دمای 730 تا 800 درجه سانتی گراد هستند. دماهای اشباع شدگی ماگما از زیرکنیم هنگام تشکیل زیرکن کمتر از 800 درجه سانتی گراد (حدود 732 تا 745 درجه سانتی گراد) محاسبه شد. ماهیت شیمیایی گرانیتوئیدهای خلنج (نوع S) نشان می دهد که عمق مذاب مونزو-گرانیتی در منطقه خلنج نسبتاً کم بوده است (پوسته بالایی). این توده گرانیتی پس از فروزانش پالتوتیس به زیر ورقه توران و در اثر برخورد قاره‌ای، در اثر فرایندهای زمین‌ساختی فشاری منطقه سنگ‌های پلیتی و آبدار پوسته بالایی دچار ذوب بخشی (آناتکسی) شده‌اند و توده‌های نفوذی مونزو-گرانیتی نوع S تشکیل شده‌اند.

نتیجه‌گیری

رخمنون سنگ‌های آذرین مونزو-گرانیتی در منطقه خلنج دارای کانی‌های کوارتز، پتاسیم فلدسپار (ارتوكلاز و میکروکلین)، پلازیوکلاز و میکا (شامل بیوتیت و مسکویت)، به همراه کانی‌های فرعی زیرکن و آپاتیت هستند. از نظر ژئوشیمیایی، نمونه‌های مونزو-گرانیت خلنج دارای میزان HREE کم و میزان بالای عناصر LREE و LILE بوده و احتمالاً وجود آمفیول و گارنیت در مذاب سازنده این سنگ‌ها موجب کاهش نسبی مقدار MREE شده است. مقایسه میزان عناصر اصلی و فرعی نشان می دهد که نمونه‌های مونزو-گرانیت خلنج در جات نسبتاً بالایی از تفریق را تجربه کرده‌اند. نمونه‌های مونزو-گرانیت خلنج جوان‌تر و همانند گرانیتوئیدهای فروژن آلکالی کلسیک و پرآلومینوس فلزیک، گرانیتوئیدهای نوع S هم‌زمان با برخورد تا

References

- Alderton, D.H.M., Pearce, J.A. and Potts, J., 1980. Rare earth element mobility during granite alteration: Evidence from southwest England. *Earth and Planetary Science Letters*, 49(1): 149–165. [https://doi.org/10.1016/0012-821X\(80\)90157-0](https://doi.org/10.1016/0012-821X(80)90157-0)
- Almeida, M.E., Macambira, M.J.B. and Oliveira, E.C., 2007. Geochemistry and zircon geochronology of the I-type high-K calc-alkaline and S-type granitoid rocks from southeastern Roraima, Brazil: Orosirian collisional magmatism evidence (1.97–1.96 Ga) in central portion of Guyana Shield. *Precambrian Research*, 155(1–2): 69–97. <https://doi.org/10.1016/j.precamres.2007.01.004>
- Barbarin, B., 1999. A review of the relationships between granitoid types, their origin and their geodynamic environments. *Lithos*, 46(3): 605–626. [https://doi.org/10.1016/S0024-4937\(98\)00085-1](https://doi.org/10.1016/S0024-4937(98)00085-1)
- Batchelor, R.A. and Bowden, P., 1985. Petrogenetic interpretation of granitoid rocks series using multicationic parameters. *Chemical Geology*, 48(1–4): 43–55. [https://doi.org/10.1016/0009-2541\(85\)90034-8](https://doi.org/10.1016/0009-2541(85)90034-8)
- Chappell, B.W., Bryant, C.J. and Wyborn, D., 2012. Peraluminous I-type granites. *Lithos*, 153: 142–153. <https://doi.org/10.1016/j.lithos.2012.07.008>
- Chappell, B.W., Bryant, C.J., Wyborn, D., White, A.J.R. and Williams, I.S., 1998. High- and low-temperature I-type granites. *Resource Geology*, 48(4): 225–236. <https://doi.org/10.1111/j.1751-3928.1998.tb00020.x>
- Chappell, B.W. and White, A.J.R. 2001. Two contrasting granite types: 25 years later. *Australian Journal of Earth Sciences*, 48: 489–499. <https://doi.org/10.1046/j.1440-0952.2001.00882.x>
- Chappell, B.W. and White, A.J.R., 1984. I- and S-type granites in the Lachlan fold belt, southeastern Australia. In: X. Keqin and T. Guangchi (Editors), *Geology of granites and their metallogenetic relations*, Science Press, Beijing, pp. 87–101. Retrieved July 11, 2019

- from <http://www.jstor.org/stable/37315>
- Chappell, B.W. and White, A.J.R., 1992. I- and S-type granites in the Lachlan fold belt. *Earth and Environmental Sciences Transactions of The Royal Society Edinburgh*, 83(1–2): 1–26. <https://doi.org/10.1017/S0263593300007720>
- Clarke, D.B., 1992. Granitoid rocks. Chapman and Hall, London, 283 pp.
- Clemens, J.D. and Stevens, G., 2012. What controls chemical variation in granitic magmas? *Lithos*, 134–135: 317–329. <https://doi.org/10.1016/j.lithos.2012.01.001>
- Cox, K.G., Bell, J.S. and Pankhurst, R.J., 1979. The interpretation of igneous rocks. Allen and Unwin, London, 450 pp. <https://doi.org/10.1007/978-94-017-3373-1>
- El-Kammar, A.M., Salman, A.E., Shalaby, M.H. and Mahdy, A.I., 2001. Geochemical and genetical constraints on rare metals mineralization at the central Eastern Desert of Egypt. *Geochemical Journal*, 35(2): 117–135. <https://doi.org/10.2343/geochemj.35.117>
- Frost, B.R., Barnes, C.G., Collins, W.J., Arculus, S.R.J., Ellis, D.J. and Frost, C.D., 2001. A geochemical classification for granitic rocks. *Journal of Petrology*, 42(11): 2033–2048. <https://doi.org/10.1093/petrology/42.11.2033>
- Gill, R., 2010. Igneous rocks and processes. Wiley-Blackwell, Hoboken, USA 428 pp. Retrieved July 11, 2019 from <https://www.wiley.com/en-gb/Igneous+Rocks+and+Processes%3A+A+Practical+Guide-p-9781444362435>
- Henderson, P. 1984. Rare earth element geochemistry. Elsevier, New York, USA, 510 pp. Retrieved July 11, 2019 from <https://www.elsevier.com/books/rare-earth-element-geochemistry/henderson/978-0-444-42148-7>
- Hughes, C.J., 1973. Spilites, keratophyres, and the igneous spectrum. *Geological Magazine*, 109(6): 513–527. <https://doi.org/10.1017/S0016756800042795>
- Jazi, M.A., Karimpour, M.H. and Malekzadeh Shafaroudi, A., 2012. Overview of the geochemistry and Rb/Sr, Sm/Nd isotopes of Middle Jurassic and Tertiary granitoid intrusions: a new insight on tectono-magmatism and mineralization of this period in Iran. *Journal of Economic Geology*, 4(2): 171–198. (in Persian with English abstract) <https://doi.org/10.22067/econg.v4i2.16489>
- Jung, S. and Pfänder, J.A., 2007. Source composition and melting temperatures of orogenic granitoids: constraints from CaO/Na₂O, Al₂O₃/TiO₂ and accessory mineral saturation thermometry. *European Journal of Mineralogy*, 19(6): 859–870. <https://doi.org/10.1127/0935-1221/2007/0019-1774>
- Karimpour, M.H., Malekzadeh Shafaroudi, A. and Saadat, S., 2014. Mineralogy, geochemistry, genesis, and industrial application of silica in Arefi area, south of Mashhad. *Journal of Economic Geology*, 6(2): 259–276. (in Persian with English abstract) <https://doi.org/10.22067/econg.v6i2.34264>
- Karimpour, M.H., Stern, C.R. and Farmer, L., 2010. Zircon U-Pb geochronology, Sr-Nd isotope analyses, and petrogenetic study of the Dehnow quartz diorite and Kuhsangi granodiorite (Paleo-Tethys), NE Iran. *Journal of Asian Earth Sciences*, 37(4): 384–393. <https://doi.org/10.1016/j.jseas.2009.11.001>
- Karsli, O., Dokuz, A., Uysal, I., Aydin, F., Kandemir, R. and Wijbrans, R.J., 2010. Generation of the Early Cenozoic adakitic volcanism by partial melting of mafic lower crust, Eastern Turkey: Implications for crustal thickening to delamination. *Lithos*, 114(1–2): 109–120. <https://doi.org/10.1016/j.lithos.2009.08.003>
- Koepeke, J., Berndt, J., Feig, S.T. and Holtz, F., 2007. The formation of SiO₂-rich melts within the deep oceanic crust by hydrous partial melting of gabbros. *Contributions to Mineralogy and Petrology*, 153(1): 67–84. <https://doi.org/10.1007/s00410-006-0135-y>
- Le Maitre, R.W. 1976, The chemical variability of some common igneous rocks. *Journal of Petrology*, 17(4): 589–637. <https://doi.org/10.1093/petrology/17.4.589>
- Maniar, P.D. and Piccoli, P.M., 1989. Tectonic discrimination of granitoids. *Geological Society of America Bulletin*, 101(5): 635–643. [https://doi.org/10.1130/0016-7606\(1989\)101<0635:TDOG>2.3.CO;2](https://doi.org/10.1130/0016-7606(1989)101<0635:TDOG>2.3.CO;2)
- McDonough, W.F. and Sun, S.S., 1995. Composition of the Earth. *Chemical Geology*, 120(3–4): 223–253. [https://doi.org/10.1016/0009-2541\(94\)00140-4](https://doi.org/10.1016/0009-2541(94)00140-4)
- Miller, C.F., McDowell, S.M. and Mapes, R.W.,

2003. Hot and cold granites? Implications of zircon saturation temperatures and preservation of inheritance. *Geology*, 31(6): 529–532. [https://doi.org/10.1130/0091-7613\(2003\)031<0529:HACGIO>2.0.CO;2](https://doi.org/10.1130/0091-7613(2003)031<0529:HACGIO>2.0.CO;2)
- Mirnejad, H., Lalonde, A.E., Obeid, M. and Hassanzadeh, J., 2013. Geochemistry and petrogenesis of Mashhad granitoids: An insight into the geodynamic history of the Paleo-Tethys in northeast of Iran. *Lithos*, 170–171: 105–116. <https://doi.org/10.1016/j.lithos.2013.03.003>
- Natalin, B.A. and Sengör, A.M.C., 2005. Late Paleozoic to Triassic evolution of the Turan and Scythian platforms: The pre-history of the Palaeo-Tethyan closure. *Tectonophysics*, 404(3–4): 175–202. <https://doi.org/10.1016/j.tecto.2005.04.011>
- Patiño Douce, A.E., 1999. What do experiments tell us about the relative contributions of crust and mantle to the origins of granitic magmas? Geological Society, London, Special Publication, 168: 55–75. <https://doi.org/10.1144/GSL.SP.1999.168.01.05>
- Pearce, J.A., Harris, N.B.W. and Tindle, A.G., 1984. Trace element discrimination diagrams for the tectonic interpretation of granitic rocks. *Journal of Petrology*, 25: 956–983. <https://doi.org/10.1093/petrology/25.4.956>
- Peccerillo, A. and Taylor, S.R., 1976. Geochemistry of Eocene calc-alkaline volcanic rocks from Kastamonu area, northern Turkey. *Contributions to Mineralogy and Petrology*, 58(1): 63–81. <https://doi.org/10.1007/BF00384745>
- Pitcher, W.A.S., 1993. The nature and origin of granite. Chapman and Hall, London, 321 pp. <https://doi.org/10.1007/978-94-011-5832-9>
- Rapp, R.P. and Watson, E.B., 1995. Dehydration melting of metabasalt at 8–32 kbar: Implications for continental growth and crust-mantle recycling. *Journal of Petrology*, 36(4): 891–931. <https://doi.org/10.1093/petrology/36.4.891>
- Rollinson, H., 1993. Using Geochemical Data: evaluation, presentation, interpretation, Longman Group UK Ltd., London, United Kingdom, 352 pp.
- Sahin, S.Y., Güngör, Y. and Boztuğ, D., 2004. Comparative petrogenetic investigation of Composite Kaçkar Batholith granitoids in Eastern Pontide magmatic arc-Northern Turkey. *Earth, Planet and Space*, 56(4): 429–446. <https://doi.org/10.1186/BF03352496>
- Samadi, R., 2013. Chemistry and origin of garnet in the granitoids and metamorphic rocks in the south of Mashhad (Khajeh-Morad, Khalaj and Dehnow). Ph.D. Thesis, Science and Research Branch, Islamic Azad University, Tehran, Iran, 398 pp. (in Persian with English Abstract) Retrieved July 11, 2019 from <https://ganj.irandoc.ac.ir/#/articles/8da0469754e7f65b5428493a1ed92e2c>
- Samadi, R., Mirnejad, H., Kawabata, H., Valizadeh, M.V., Harris, C. and Gazel, E., 2014. Magmatic garnet in the Triassic (215 Ma) Dehnow pluton of NE Iran and its petrogenetic significance. *International Geology Review*, 56(5): 596–621. <https://doi.org/10.1080/00206814.2014.880659>
- Samadi, R., Shirdashtzadeh, N. and Kawabata, H., 2015. Petrography and petrogenesis of aplite-pegmatite dykes and granitoids of Khajeh Morad (SE Mashhad, Iran). *Scientific Quaterly Journal, Geosciences*, 25(97): 49–60. (in Persian with English abstract) <http://dx.doi.org/10.22071/gsj.2015.41351>
- Shikazono, N., 2003. Geochemical and Tectonic Evolution of Arc-Backarc Hydrothermal Systems: Implication for the Origin of Kuroko and Epithermal Vein-Type Mineralizations and the Global Geochemical Cycle. Elsevier, Amestrdam, 463 pp. Retrieved July 11, 2019 from <https://www.sciencedirect.com/bookseries/developments-in-geochemistry/vol/8/suppl/C>
- Soltani, A., 2000. Geochemistry and geochronology of I type granitoid rocks in the northeastern Central Iran. Ph.D. Thesis, University of Wollongong, Wollongong, Australia, 300 pp. Retrieved July 11, 2019 from <https://ro.uow.edu.au/cgi/viewcontent.cgi?article=2970&context=theses>
- Streckeisen, A.L. and Le Maitre, R.W., 1979. Chemical approximation to the modal QAPF classification of the igneous rocks. *Neues Jahrbuch für Mineralogie, Abhandlungen*, 136: 169–206. Retrieved July 11, 2019 from <http://deposit.ub.edu/dspace/bitstream/2445/172864/1/704879.pdf>

- Sylvester, J., 1998. Post-collisional strongly peraluminous granites. *Lithos*, 45(1–4): 29–44. [https://doi.org/10.1016/S0024-4937\(98\)00024-3](https://doi.org/10.1016/S0024-4937(98)00024-3)
- Taheri, J. and Ghaemi, F., 1994. Geological sheet map of Mashhad, 1:100000 scale. Geological Survey and Mineral Exploration of Iran, Tehran.
- Taylor, S.R. and McLennan, S.M., 1981. The composition and evolution of the continental crust: Rare earth element evidence from sedimentary rocks. *Philosophical Transactions of the Royal Society of London*, A301: 381–399. <https://doi.org/10.1098/rsta.1981.0119>
- Taylor, S.R. and McLennan, S.M., 1985. The continental crust: Its composition and evolution. Blackwell, Oxford, 312 pp. Retrieved July 11, 2019 from <https://onlinelibrary.wiley.com/doi/pdf/10.1002/gj.3350210116>
- Villaseca, C., Barbero, L. and Herreros, V., 1998. A re-examination of the typology of peraluminous granite types in intracontinental orogenic belts. *Earth and Environmental Sciences Transactions of The Royal Society Edinburgh*, 89(2): 113–119. <https://doi.org/10.1017/S0263593300007045>
- Villaseca, C., Bellido, F., Pérez-Soba, C. and Billström, K., 2009. Multiple crustal sources for post-tectonic I-type granites in the Hercynian Iberian Belt. *Mineralogy and Petrology*, 96(3): 197–211. <https://doi.org/10.1007/s00710-009-0057-2>
- Watson, E.B. and Capobianco, C.J., 1981. Phosphorus and rare earth elements in felsic magmas: An assessment of the role of apatite. *Geochimica et Cosmochimica Acta*, 45(12): 2349–2358. [https://doi.org/10.1016/0016-7037\(81\)90088-0](https://doi.org/10.1016/0016-7037(81)90088-0)
- Watson, E.B. and Harrison, T.M., 1983. Zircon saturation revisited: temperature and composition effects in a variety of crustal magma types. *Earth and Planetary Science Letters*, 64(2): 295–304. [https://doi.org/10.1016/0012-821X\(83\)90211-X](https://doi.org/10.1016/0012-821X(83)90211-X)
- Whitney, D.L. and Evans, B.W., 2010. Abbreviations for names of rock-forming minerals. *American Mineralogist*, 95(1): 185–187. <https://doi.org/10.2138/am.2010.3371>
- Zanchi, A., Berra, F., Balini, M., Ghassemi, M.R., Heidarzadeh, G. and Zanchetta, S., 2011. The Palaeotethys suture zone in NE Iran: New constraints on the evolution of the Eo-Cimmerian belt (Darius Programme). Proceeding of AAPG International Conference and Exhibition, Milano Convention Centre, Milan, Italy. Retrieved July 11, 2019 from http://www.searchanddiscovery.com/documents/2012/30222zanchi/ndx_zanchi.pdf

COPYRIGHTS

©2021 The author(s). This is an open access article distributed under the terms of the Creative Commons Attribution (CC BY 4.0), which permits unrestricted use, distribution, and reproduction in any medium, as long as the original authors and source are cited. No permission is required from the authors or the publishers.



How to cite this article

Samadi, R., Torabi, Gh. and Mirnejad, M., 2021. Geochemistry, origin and anatexis temperature of monzogranite formation in Mount Khalaj (Mashhad, Iran). *Journal of Economic Geology*, 13(1): 145–164. (in Persian with English abstract) <https://dx.doi.org/10.22067/econg.v13i1.84933>



Geochemistry, origin and anatexis temperature of monzogranite formation in Mount Khalaj (Mashhad, Iran)

Ramin Samadi¹, Ghodrat Torabi^{1*} and Hassan Mirnejad²

1) Department of Geology, Faculty of Science, University of Isfahan, Isfahan, Iran

2) Department of Geology, Faculty of Science, University of Tehran, Tehran, Iran

Submitted: Jan. 04, 2020

Accepted: Apr. 26, 2020

Keywords: Petrography, geochemistry, monzogranite, Mesozoic, Khalaj, Mashhad

Introduction

Granitoids are the main rock units in the continental crust. Study of granitoids reveals significant information on tectonic mantle and upper crust. Many researchers have investigated petrogenesis and origin of granitoids (e.g., Chappell and White, 2001; Barbarin, 1999; Frost et al., 2001). For example, Chappell and White (1992), Pitcher (1993) and Chappell et al., (1998) have divided granites into two major groups of: (1) I-type granites (high-temperature or Cordilleran granitoids, including low-K granitoid to high-Ca tonalite, without inherited zircons) formed by partial melting of mafic rocks at >1000 °C in mantle or subduction zones of continental margins, and (2) S-type (low-temperature or Caledonian granitoids with inherited zircons) granites formed by partial melting of felsic crust at ~700-800 °C. Northeast of Iran is a key location for studying the Cimmerian Orogeny, which is related to the Late Triassic collision between it and Eurasia, and the closure of the Paleo-Tethys (Samadi et al., 2014). Mesozoic Mashhad granitoids have cropped out along with the Paleo-Tethys suture zone. Distinct granitoid suites, i.e., monzogranite, granodiorite, tonalite, and diorite occur in Mount Khalaj located in the south of Mashhad. It comprises of monzogranite and granodiorite. However, monzogranite is the most abundant. To study the plutonic events during the Turan and Central Iran collision, the origin and tectonic setting of monzogranite of Mount Khalaj are investigated in this study based on whole rock geochemical data.

Materials and methods

This research study is based on field studies and

petrography. Fresh thin sections samples were selected for geochemical analysis. Whole rock composition was measured on pressed powder tablets by X-ray fluorescence (XRF) using a Philips PW 1480 wavelength dispersive spectrometer with a Rh-anode X-ray tube and a 3 MeV electron beam Van de Graaff Accelerator, at the center for Geological Survey of Iran. The trace element data of a sample was measured at the Activation Laboratories, Ontario, Canada (ActLabs). Samples were digested by lithium metaborate/tetraborate fusion and analyzed with a Perkin Elmer Sciex ELAN 6000, 6100 or 9000 ICP/MS. GCDkit 4.1 and CorelDraw software packages were used for plotting diagrams and calculation of saturation temperatures.

Results

The Khalaj granitoid is mineralogically composed of quartz, potassic feldspar, plagioclase, mica, and accessory minerals of zircon and apatite. Geochemically, it is an unaltered acidic intrusion with ~72-73 wt.% SiO₂. It is a granitoid (monzogranite) based on various classification diagrams (e.g., Cox et al., 1979; etc.). It shows the peraluminous nature (A/CNK~ 1.08-1.24) with negative Eu anomaly of ~0.62-0.73 (Eu/Eu*<1), low HREE and high LREE and LILE contents.

Discussion

Geochemically, the low HREE and high LREE and LILE content in the Mount Khalaj monzogranite indicate a more differentiated melt for it. Monzogranite samples from the Khalaj-Khajeh Morad regions are similar to ferroan alkali-calcic, felsic peraluminous S-type granitoids based on discrimination diagrams by

*Corresponding author Email: torabighodrat@sci.ui.ac.ir

DOI: <https://dx.doi.org/10.22067/econg.v13i1.84933>

various researchers (e.g., Chappell and White, 2001; Villaseca et al., 1998). In fact, the Mount Khalaj monzogranite is a collisional granite (based on diagrams by: Batchelor and Bowden, 1985; Sahin et al., 2004), produced by anatexis and partial melting of felsic upper crust pelitic sediments (based on diagrams by: Almeida et al., 2007; Patiño Douce, 1999). It is classified as a low-temperature S-type granite formed at 730–800 °C (based on the diagram of Rapp and Watson, 1995), with T_{Zr} of ~732–745 °C (by using GCDKit software). Therefore, S-type syn- to post-collisional Mount Khalaj monzogranite is a consequence of partial melting (anatexis) of hydrous sedimentary rocks of upper crust after Paleo-Tethys subduction under Turan plate and continental collision and compressional tectonism.

References

- Almeida, M.E., Macambira, M.J.B. and Oliveira, E.C., 2007. Geochemistry and zircon geochronology of the I-type high-K calc-alkaline and S-type granitoid rocks from southeastern Roraima, Brazil: Orosirian collisional magmatism evidence (1.97–1.96 Ga) in central portion of Guyana Shield. *Precambrian Research*, 155(1–2): 69–97. <https://doi.org/10.1016/j.precamres.2007.01.004>
- Barbarin, B., 1999. A review of the relationships between granitoid types, their origin and their geodynamic environments. *Lithos*, 46(3): 605–626. [https://doi.org/10.1016/S0024-4937\(98\)00085-1](https://doi.org/10.1016/S0024-4937(98)00085-1)
- Batchelor, R.A. and Bowden, P., 1985. Petrogenetic interpretation of granitoid rocks series using multicationic parameters. *Chemical Geology*, 48(1–4): 43–55. [https://doi.org/10.1016/0009-2541\(85\)90034-8](https://doi.org/10.1016/0009-2541(85)90034-8)
- Chappell, B.W. and White, A.J.R. 2001. Two contrasting granite types: 25 years later. *Australian Journal of Earth Sciences*, 48: 489–499. <https://doi.org/10.1046/j.1440-0952.2001.00882.x>
- Chappell, B.W. and White, A.J.R., 1992. I- and S-type granites in the Lachlan fold belt. *Earth and Environmental Sciennce Transactions of The Royal Society Edinburgh*, 83(1–2): 1–26. <https://doi.org/10.1017/S0263593300007720>
- Chappell, B.W., Bryant, C.J., Wyborn, D., White, A.J.R. and Williams, I.S., 1998. High- and low-temperature I-type granites. *Resource Geology*, 48(4): 225–236. <https://doi.org/10.1111/j.1751-3928.1998.tb00020.x>
- Cox, K.G., Bell, J.S. and Pankhurst, R.J., 1979. The interpretation of igneous rocks. Allen and Unwin, London, 450 pp. <https://doi.org/10.1007/978-94-017-3373-1>
- Frost, B.R., Barnes, C.G., Collins, W.J., Arculus, S.R.J., Ellis, D.J. and Frost, C.D., 2001. A geochemical classification for granitic rocks. *Journal of Petrology*, 42(11): 2033–2048. <https://doi.org/10.1093/petrology/42.11.2033>
- Patiño Douce, A.E., 1999. What do experiments tell us about the relative contributions of crust and mantle to the origins of granitic magmas? Geological Society, London, Special Publication, 168: 55–75. <https://doi.org/10.1144/GSL.SP.1999.168.01.05>
- Pitcher, W.A.S., 1993. The nature and origin of granite. Chapman and Hall, London, 321 pp. <https://doi.org/10.1007/978-94-011-5832-9>
- Rapp, R.P. and Watson, E.B., 1995. Dehydration melting of metabasalt at 8–32 kbar: Implications for continental growth and crust-mantle recycling. *Journal of Petrology*, 36(4): 891–931. <https://doi.org/10.1093/petrology/36.4.891>
- Sahin, S.Y., Güngör, Y. and Boztuğ, D., 2004. Comparative petrogenetic investigation of Composite Kaçkar Batholith granitoids in Eastern Pontide magmatic arc-Northern Turkey. *Earth, Planet and Space*, 56(4): 429–446. <https://doi.org/10.1186/BF03352496>
- Samadi, R., Mirnejad, H., Kawabata, H., Valizadeh, M.V., Harris, C. and Gazel, E., 2014. Magmatic garnet in the Triassic (215 Ma) Dehnow pluton of NE Iran and its petrogenetic significance. *International Geology Review*, 56(5): 596–621. <https://doi.org/10.1080/00206814.2014.880659>
- Villaseca, C., Barbero, L. and Herreros, V., 1998. A re-examination of the typology of peraluminous granite types in intracontinental orogenic belts. *Earth and Enviormental Sciennce Transactions of The Royal Society Edinburgh*, 89(2): 113–119. <https://doi.org/10.1017/S0263593300007045>